

**ANKARA ÜNİVERSİTESİ
BİYOTEKNOLOJİ ENSTİTÜSÜ**

YÜKSEK LİSANS TEZİ

**MİTOKONDİRİ GENOMUNDAN
EVRİMSEL OLARAK NÜKLEER GENOMA TRANSFER OLAN GENLERDE
KODON KULLANIM FARKINA BAĞLI MUTASYON ETKİSİ**

Dr. Abdullah OLGUN

**Danışman Öğretim Üye(ler)i
Yrd. Doç. Dr. Levent ÖZBEK**

**ANKARA
2007**

Yrd. Doç. Dr. Levent ÖZBEK danışmanlığında Dr. Abdullah OLGUN tarafından hazırlanan bu çalışma 08/06/2007 tarihinde aşağıdaki jüri tarafından Biyoteknoloji Anabilim Dalı'nda yüksek lisans tezi olarak kabul edilmiştir.

Başkan : Prof. Dr. Cumhur ÇÖKMÜŞ

İmza :

Üye : Prof. Dr. Fikri ÖZTÜRK

İmza :

Üye : Doç. Dr. Gökhan İLK

İmza :

Üye : Doç. Dr. Sevgi ÖNCEL

İmza :

Üye : Yrd. Doç. Dr. Levent ÖZBEK

İmza :

Yukarıdaki sonucu onaylarım.

Prof. Dr. M. Nejat AKAR
Enstitü Müdürü

İÇİNDEKİLER

ÖZET	i
ABSTRACT	ii
ÖNSÖZ VE TEŞEKKÜR	iii
SİMGELER DİZİNİ	iv
ŞEKİLLER DİZİNİ	v
ÇİZELGELER DİZİNİ	vi
1. GİRİŞ	1
1.1. Çalışmanın Kapsamı	1
1.2. Mitokondri	1
1.3. İnsan ve <i>R. americana</i> mitokondri genomlarının karşılaştırılması	1
2. KURAMSAL TEMELLER	4
3. MATERİYAL VE YÖNTEM	6
3.1. BLAST algoritması	6
4. ARAŞTIRMA BULGULARI VE TARTIŞMA	8
5. SONUÇ	12
KAYNAKLAR	13
EKLER	14
EK1. DNA ve protein dizi karşılaştırma analizlerinin çıktı raporları	14
ÖZGEÇMİŞ	31

ÖZET

Mitokondri genomu evrimsel süreç boyunca yatay gen transferiyle nükleusa transfer sonucu küçülmüştür. İnsan mitokondri DNA'sı (mtDNA) sadece 13 proteini kodlar. *Reclinomonas americana* (*R. americana*) mtDNA'sı var olan en büyük mitokondri genomlarından biridir ve mtDNA'sının evriminin çok erken evrelerini temsil eder. İnsan mitokondri DNA'sı standart genetik kod kullanan *R. americana* mtDNA'sından farklı kod kullanır. Bu çalışmada; *i) R. americana* ve insan mtDNA'sı, *ii) R. americana* mtDNA'sı tarafından kodlanan oksidatif fosforilasyon komplekslerinin 25 altbirimle bunların insandaki mitokondriyal ve nükleer ortologları nükleotid ve amino asit düzeylerinde karşılaştırılmıştır. Bu organizmaların mtDNA'lari arasında, sadece, COX3 geninin de bir kısmı olan çok küçük bir bölgede benzerlik bulunmuştur. Protein seviyesindeki benzerlik DNA'ya göre çok daha fazla korunmuştur. *R. americana* mtDNA genlerinin insandaki nükleer ortologları mitokondriyal ortologlara göre çok daha fazla benzerlik göstermektedirler. Bu çalışmanın sonuçlarına göre mtDNA'sının nükleer DNA'ya göre daha yüksek mutasyon hızı olduğu, insan mitokondriyal genetik kodunun evrimsel olarak değişiminin mutasyonel etkilerinin olduğu ve bu değişimin muhtemelen mitokondriyal genomun nükleusa transferindeki engellerden biri olduğu ileri sürülebilir.

Anahtar Kelimeler: Mitokondri DNA'sı (mtDNA), *Reclinomonas americana*, Genetik kod, Gen transferi, Mutasyon

ABSTRACT

The size of mitochondrial genome was reduced during the evolutionary process because of horizontal gene transfer to nucleus. Human mitochondrial DNA (mtDNA) encodes only 13 proteins. MtDNA of *Reclinomonas americana* (*R. americana*) is one of the biggest mitochondrial genomes representing very early stages of mtDNA evolution. Human mtDNA has some differences in codon reassignment from *R. americana* mtDNA which uses standard genetic code. This study compared *i) R. americana* and human mtDNA, *ii) 25 subunits of oxidative phosphorylation complexes encoded by *R. americana* mtDNA and their both mitochondrial and nuclear orthologs in humans at nucleotide and amino acid level*. The similarity of mtDNA in these organisms exists only in only one short region which is a part of COX3 gene. The similarity at protein level is more conserved than DNA level. Human nuclear orthologs of *R. americana* mtDNA genes were more similar than mitochondrial orthologs. The results of this study suggest that mitochondrial DNA has a higher mutation rate than nuclear DNA, the evolutionary change of human mitochondrial genetic code had mutational consequences and this change is likely one of the barriers in the transfer of mitochondrial genome to nucleus.

Keywords: Mitochondrial DNA (mtDNA), *Reclinomonas americana*, Genetic code, Gene transfer, Mutation

ÖNSÖZ VE TEŞEKKÜR

Mitokondri ve kloroplast hücrelerde çekirdek dışında DNA'nın bulunduğu tek organellerdir. Mitokondri evrimsel olarak α -proteobakterinin ökaryotik hücrenin içine girmesiyle evrimleşmiştir. Başlangıçta bütün proteinlerini kodlayan genlere sahipken zamanla genomu küçülerek günümüzdeki haline gelmiştir. Örneğin insan mitokondri DNA'sı sadece 13 protein kodlayan küçük bir molekül haline gelmiştir. Mitokondri DNA'sının insana kadar evriminin erken dönemlerindeki bir örneği olarak *Reclinomonas americana* (*R. americana*) mtDNA'sı kullanılabilir. Çünkü bilinen en çok protein kodlayan ve en büyük mtDNA'larından biridir. Bu nedenle bu çalışmada insan ve *R. americana* mtDNA'ları ve kodladıkları proteinler, insanda zamanla nükleusa transfer olduğu halde *R. americana*'da halen mtDNA'da bulunan genler karşılaştırılarak insan mtDNA'sının evrimine ışık tutulmaya çalışılmıştır. *R. americana* mtDNA'sı standart genetik kod kullanmasına rağmen insan mtDNA'sı farklı bir kod kullanmaktadır. Şöyle ki standart kodda UGA stop kodlarken mtDNA'sında triptofan, AUA ise izolosin yerine metionin kodlar. Genetik kodun değişmesinin mutasyonel etkisini ve bunun nükleusa gen transferinin önündeki engellerden biri olabileceğini gösteren deliller bulunmaya çalışılmıştır.

Bu araştırma sırasında ihtiyaç duyduğum her türlü desteğini esirgemeyen ve çok yakın ilgisini gördüğüm danışman hocam Yrd. Doç. Dr. Levent ÖZBEK'e, yüksek lisans eğitimim süresince ders aldığım bütün hocalarımı, kendilerine ayırmam gereken zamanı bana bağışlayarak büyük özveride bulunan eşim Ulviye ve çocuklarım Bilgehan ve Arman'a teşekkürlerimi sunarım.

Abdullah OLGUN
Ankara, Haziran 2007

SİMGELER DİZİNİ

ATP1	ATP sentaz F1 altbirim alfa
ATP3	ATP sentaz F1 altbirim gama
ATP4	ATP sentaz altbirim b
ATP6	ATP sentaz F0 altbirim 6
ATP8	ATP sentaz F0 altbirim 8
ATP9	ATP sentaz F0 altbirim 9
BLAST	Basic local alignment search tool
COX1	Sitokrom c oksidaz altbirim 1
COX2	Sitokrom c oksidaz altbirim 2
COX3	Sitokrom c oksidaz altbirim 3
CYTB	Apositokrom b
HS	<i>Homo sapiens</i>
mtDNA	Mitokondri DNA'sı
ND1	NADH dehidrojenaz altbirim 1
ND10	NADH dehidrojenaz altbirim 10
ND11	NADH dehidrojenaz altbirim 11
ND2	NADH dehidrojenaz altbirim 2
ND3	NADH dehidrojenaz altbirim 3
ND4	NADH dehidrojenaz altbirim 4
ND4L	NADH dehidrojenaz altbirim 4L
ND5	NADH dehidrojenaz altbirim 5
ND6	NADH dehidrojenaz altbirim 6
ND7	NADH dehidrojenaz altbirim 7
ND8	NADH dehidrojenaz altbirim 8
ND9	NADH dehidrojenaz altbirim 9
RA	<i>Reclinomonas americana</i>
SDH2	Süksinat:ubikinon oksidoredüktaz altbirim 2
SDH3	Süksinat:ubikinon oksidoredüktaz altbirim 3
SDH4	Süksinat:ubikinon oksidoredüktaz altbirim 4
nDNA	Nükleer DNA

ŞEKİLLER DİZİNİ

Şekil 1.1.	İnsan ve <i>R. americana</i> mtDNA'larının karşılaştırılması	2
Şekil 2.1.	Taksonomi ağacında mitokondri genetik kodunun insana ve <i>R. americana</i> 'ya kadar evrimi	5
Şekil 3.1.	BLAST algoritması	6
Şekil 4.1.	İnsan mtDNA'sında evrimsel olarak korunmuş ATA kodonlarının bulunduğu 3 bölge	11

ÇİZELGELER DİZİNİ

Çizelge 1.1. İnsan ve <i>R. americana</i> mtDNA'larının karşılaştırılması	2
Çizelge 3.1. <i>R. americana</i> mtDNAsı tarafından kodlanan oksidatif fosforilasyon kompleks altbirimleri ve bunların mitokondriyal ve nükleer insan ortologları.	7
Çizelge 4.1. İnsan ve <i>R. americana</i> 'da Oksidatif fosforilasyon komplekslerinin altbirim genleri arasındaki DNA benzerliği.	8
Çizelge 4.2. İnsan ve <i>R. americana</i> 'da Oksidatif fosforilasyon komplekslerinin altbirim genleri arasındaki protein benzerliği.	10
Çizelge 4.3. İnsan mitokondri DNA'sında, kodon kullanımının standart kodon kullanımından mitokondriyale evrimi nedeniyle, standart koddaki "stop" yerine "tryptofan (W)" ve "izolösin (I)" yerine "metiyonin (M)" kodlayan kodonların altbirimlere göre sayıları.	10

1. GİRİŞ:

1.1. Çalışmanın Kapsamı

R. americana mitokondri genomu bilinen en primitif ve en çok protein kodlayan mitokondri genomlarından biridir (Lang *et al.* 1997). Bu nedenle mitokondri DNA'sının insana kadar evriminin aydınlatılmasında önemli katkılarda bulunmuştur. *R. americana* mtDNA'sı standart kodon kullanımı göstermesine karşın insan mtDNA'sının kodon kullanımını farklıdır (Bullerwell and Lang 2005). Bu durum insan mtDNA'sının nükleusa transferindeki engellerden biri olabilir. *R. americana* mtDNA'sı tarafından kodlanan 25 oksidatif fosforilasyon kompleks altbiriminin (Lang *et al.* 1997) insanda 13 tanesi mtDNA'sı tarafından kodlanmaya devam edilmesine karşın (Anonymous 2007-a) 12'si evrimsel süreçte nükleer genoma transfer olmuştur. Bu çalışmada *R. americana* mtDNA'sı tarafından kodlanan oksidatif fosforilasyon kompleks altbirimleri insandaki ortologlarıyla (mitokondriyal ve nükleer) DNA ve protein seviyesinde karşılaştırılmış, ayrıca mtDNA'sının evriminin kodon kullanım farkı nedeniyle olası mutasyonel etkisi incelenmiştir.

1.2. Mitokondri

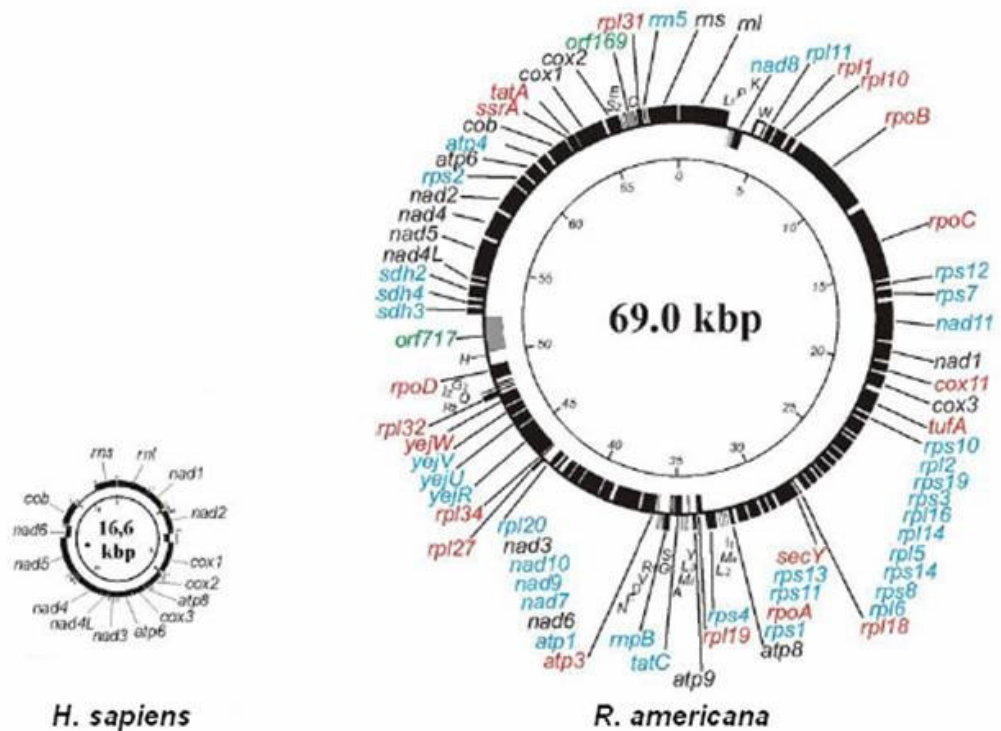
Mitokondri hücrenin ihtiyaç duyduğu enerjinin büyük bölümünü üreten ve başka birçok işlevleri olan yaklaşık 0,5-1 μm çapında silindirik bir organeldir. Mitokondri sözcüğü “ipliksi granül” anlamına gelmektedir. Hücre içindeki sayı, yapı ve yerleşimleri hücre tipine göre değişir ve temelde hücrenin enerji ihtiyacına göre belirlenir. Dış ve iç zar olmak üzere 2 zar yapısı vardır. Bu iki zar arasında zarlararası boşluk, iç zarın içinde de matriks bulunur. Dış zar 5kDa'dan daha küçük moleküller geçirirken iç zar geçirgen değildir. Bu nedenle zarlararası boşluğun kompozisyonu sitozole çok benzer. İç zarın geçirgen olmamasını sağlayan özellikle kardiyolipindir. İç zar yüzey alanını çok artıran kristalar oluşturur. Oksidatif fosforilasyon kompleksleri iç zar üzerinde bulunurlar. Matriks sitrik asit siklusu ve yağ asit oksidasyonu gibi çok sayıda önemli biyokimyasal reaksiyonlara ev sahipliği yapar. Mitokondri DNA'sı (mtDNA) da matrikste bulunur (Tzagoloff 1982, Alberts *et al.* 1994, Mannella *et al.* 1997, Schatz 1995).

1.3. İnsan ve *R. americana* mitokondri genomlarının karşılaştırılması

Hayvan hücrelerinde mitokondri çekirdek dışında DNA'sı olan tek organeldir. MtDNA'sının yaşlanması, kanser ve birçok hastalıktaki rolünü gösteren çok sayıda çalışma mevcuttur. İnsan mitokondri genomu 16569 baz çifti içeren çift zincirli sirküler bir DNA'dır (Bullerwell and Lang 2005, Olgun *et al.* 2002, Olgun 1998). (Şekil 1.1.) Günümüzdeki mitokondri DNA'ları başlangıçta birkaç yüzden birkaç bine kadar olan genlerinin sadece 5-100 kadarını korumaktadırlar (Lang *et al.* 2005).

İnsan mitokondrisinde şimdiden yaklaşıklık 1500 protein tanımlanmıştır (Anonymous 2007-b). Bu proteinlerin sadece 13 tanesi mitokondri genomu tarafından kodlanmaktadır. Bu 13 protein oksidatif fosforilasyon komplekslerinden kompleks II (Süksinat-Ubikinon Oksidoreduktaz) hariç diğer 4 tanesinin yapılarında bulunan bazı altbirimleridir. Bunlar Kompleks I NADH-Ubikinon Oksidoreduktaz'ın 7 (ND1, ND2, ND3, ND4, ND4L, ND5, ND6), Kompleks III Ubikinol-Sitokrom C Oksidoreduktaz'ın 1 (CytB), Kompleks IV Sitokrom C Oksidaz'ın 3 (COX1, COX2, COX3) ve Kompleks V ATP Sentaz'ın 2 (ATP6 ve ATP8) altbirimidir. İnsan mitokondri genomu ayrıca 2 ribozomal RNA ve 22 transfer RNA'yı kodlayan genler içerir (Olgun *et al.* 2002).

Bilinen en primitif mitokondri genomlarından bir tanesi flagellalı bir tathsu protozoonu olan *Reclinomonas americana*'nınıdır. *R. americana*'nın evrimsel olarak diğer ökaryotlardan çok önce muhtemelen mitokondrinin kazanılmasından hemen sonra ayrıldığı düşünülmektedir (Anonymous 2007-c). *R. americana* mtDNA'sı 69034 baz çifti içeren sirküler bir moleküldür. Kodladığı 97 genle en çok gene sahip mitokondri DNA'larından biridir. Bu genlerin 44 tanesi protein kodlamakta olup bu proteinlerin de 25 tanesi oksidatif fosforilasyon komplekslerinin yapısında yer almaktadır. İnsan mtDNA'sının kodladığı altbirimlere ek olarak kompleks I'in 5 (ND7, ND8, ND9, ND10, ND11), kompleks II'nin 3 (SDH2, SDH3, SDH4) ve kompleks V'in 4 (ATP1, ATP3, ATP4, ATP9) altbirimini kodlamaktadır (Lang *et al.* 1997, Bullerwell and Lang 2005) (Çizelge 1.1.). Bu altbirimler insanda nükleer genom tarafından kodlanmaktadır.



Şekil 1-1. İnsan ve *R. americana* mtDNA'larının karşılaştırılması (Lang *et al.* 2005'den değiştirilerek alınmıştır)

Çizelge 1-1. İnsan ve *R. americana* mtDNA'larının karşılaştırılması.

Özellikler	İnsan mtDNA'sı	<i>R.americana</i> mtDNA'sı
GenBank No	NC_001807	NC_001823
Uzunluk	16569	69034
GC içeriği	44%	%26
% Kodlayan bölge	68%	%80
Yapı	sirküler	sirküler
Toplam gen	37	97
rRNA	2	4
tRNA	22	26
Protein	13	67
Oksidatif fosforilasyon kompleks altbirimleri	ND1, ND2, ND3, ND4, ND4L, ND5, ND6, CYTB, COX1, COX2, COX3, ATP6, ATP8	ND1, ND2, ND3, ND4, ND4L, ND5, ND6, ND7, ND8, ND9, ND10, ND11, SDH2, SDH3, SDH4, CYTB, COX1, COX2, COX3, ATP1, ATP3, ATP4, ATP6, ATP8, ATP9
Yapısal RNA'lar	24	30

Mitokondriyal proteomun kökeni olarak 3 ayrı kaynak ileri sürülmektedir: α -proteobakteri, α -proteobakteriler dışı bakteriler ve bakteri kökenli olmayanlar. En yüksek oranda bakteriyel ortolog içeren gen grupları ise biyosentez, enerji ve translasyonla ilgili olanlardır (Kurland and Andersson 2000). Mitokondriyal proteinlerin yaklaşık yarısı için bakteriyel orijin gösterilememektedir ve yaklaşık %10'u kesinlikle α -proteobakteri kökenlidir (Karlberg *et al.* 2000). Nükleer genomca kodlanan ökaryotik orijinli mitokondriyal proteinlerin çoğunluğunun translasyonu sitozolde serbest olarak bulunan polizomlarda, prokaryotik orijinlilerin ise mitokondriye bağlı polizomlarda gerçekleşir (Andersson *et al.* 2003).

İnsan mtDNA'sının kodon kullanımı evrensel veya standart koddan farklılık gösterir. Şöyled ki UGA stop yerine triptofan, AUA izolösin yerine metionin, AGA ve AGG arginin yerine stop kodlar (AGA:COX1'de; AGG: ND6'da); AUU elongasyon basamağında izolösin kodlar ancak inisasyon basamağında metionin kodlayabilir (ND2'de) (Anonymous 2007-a). *R. americana* mtDNA'sının kodon kullanımı ise standart koda göredir (Bullerwell and Lang 2005).

2. KURAMSAL TEMELLER

Endosimbiotik teoriye göre mitokondri ilkel ökaryotik hücrenin içine α -proteobakterinin, kloroplast ise mavi-yeşil yosunun girmesi sonucu evrimleşerek oluşmuşlardır. Her iki organelin de genomlarının olması, nükleer DNA içinde genom dizilerinin bulunması gibi veriler bu teoriyi desteklemektedir. Evrimsel olarak bu organellerin genomlarının nükleusa transfer olarak zamanla mevcut çok küçük hallerine dönüştüklerini gösteren bulgular mevcuttur. Organel genomlarının kodladığı proteinler çoğunlukla yüksek lipofilik özellik gösteren membran proteinleri olup organel içine taşınmaları çok zor olanlardır (Anonymous 2007-a, Martin 2003, Anonymous 2007-d). Mitokondride yer alan proteinleri kodlayan ancak nükleer DNA'da bulunan ve prokaryotik kökenleri gösterilmiş olan genler muhtemelen evrimsel olarak mitokondriden nükleusa transfer olmuş genlerin de bir listesini sunmaktadır. Mitokondri proteomunun sadece %10'unda prokaryotik köken gösterilebilmektedir (Karlberg *et al.* 2000).

Mitokondri DNA'sının kodon kullanımının insana kadar evrimine baktığımızda Eukaryota'dan Eumetazoa'ya kadar standart kodon kullanımı (kodon kullanım tablosu 1), Eumetazoa'dan Craniata'ya kadar vertebrasız (invertebrate) mitokondri kodu (kodon kullanım tablosu 5), Craniata'dan sonra ise vertebralı mitokondri kodu (kodon kullanım tablosu 2) kullanıldığını görüyoruz (Wheeler *et al.* 2000, Benson *et al.* 2000). *R. americana* mtDNA'sı standart kodon kullanmaktadır (Şekil 2.1.). Bu durum mtDNA'sının kodladığı proteinlerin çok büyük çoğunluğunun mitokondri DNA'sı halen standart kod kullanmakta yine nükleusa transfer olduğunu göstermektedir. MtDNA'sının kodon kullanımının değişmesi mutasyonel bir etki yaratmış olmalıdır. Ayrıca kodon kullanımını değiştikten sonra mtDNA'sının evrimi onun nükleusa transferini daha da güçlentirecek şekilde gerçekleşmiş olabilir. Örneğin mtDNA'sının triptofan olarak kodladığı UGA kodonu nükleusa transferde stop kodlayacağı için transfer mümkün olamayacaktır.

Mitokondri DNA'sı hücrede serbest radikallerin en çok üretildiği yer olan mitokondri iç zarına yakın yerleşimde olması, histon içermemesi ve tamir mekanizmalarının nükleer DNA'dan daha zayıf olması nedenleriyle daha çok mutasyona uğramaktadır (Olgun *et al.* 2002). Bu nedenle mtDNA'sı içinde kalan genlerdeki değişimin nükleusa transfer olanlardan daha çok olması beklenebilir.

Eukaryota (translasyon tablosu 1)*

- Fungi/Metazoa group
- Metazoa
- Eumetazoa (translasyon tablosu 5)***
- Bilateria
- Coelomata
- Deuterostomia
- Chordata
- Craniata (translasyon tablosu 2)***
- Vertebrata
- Gnathostomata
- Teleostomi
- Euteleostomi
- Sarcopterygii
- Tetrapoda
- Amniota
- Mammalia
- Theria
- Eutheria
- Euarchontoglires
- Primates
- Haplorrhini
- Simiiformes
- Catarrhini
- Hominoidea
- Hominidae
- Homo/Pan/Gorilla group
- HomoHomo sapiens
- Homo sapiens neanderthalensis***

Eukaryota (translasyon tablosu 1)*

- Jakobidae
- Reclinomonas
- Reclinomonas americana***

Şekil 2-1. Taksonomi ağacında mitokondri genetik kodunun insana ve *R. americana*'ya kadar evrimi. Eucaryota'dan Eumetazoa'ya kadar standart kodon kullanımı (translasyon tablosu 1), Eumetazoa'dan Craniata'ya kadar vertebrasyonlu mitokondri kodu (translasyon tablosu 5), Craniata'dan sonra ise vertebralı mitokondri kodu (translasyon tablosu 2) kullanılmaktadır (Anonymous 2007-e).

3. MATERİYAL VE YÖNTEM

Çalışmada mevcut online gen bankalarındaki (Anonymous 2007-f) veriler kullanılmış, bu dizi verileri uygun yöntemlerle karşılaştırılmıştır. *R. americana* ve insan DNA ve protein dizileri (Çizelge 3.1.) (Anonymous 2007-g) BLAST programı altında “special” seçenekindeki “Align two sequences (bl2seq)” yöntemiyle karşılaştırılmıştır (Anonymous 2007-h). *R. americana* mtDNA’sı tarafından kodlanan oksidatif fosforilasyon kompleks altbirimleri ve bunların mitokondriyal insan ortologları Anonymous 2007-g’den alınmış, insandaki ortologlarının nükleer olanları ise BLAST programı altında “nucleotide blast” ve “protein blast” seçenekleri altında (Anonymous 2007-h) aranmış ve en yüksek benzerlik gösteren insan geni ortolog olarak kabul edilmiştir.

3.1. BLAST algoritması:

BLAST (Basic Local Alignment Search Tool) ilgilenilen DNA veya protein dizilerinin mevcut tüm dizi veri bankalarında benzerlerini bulmak için tasarlanmış bir arama programları setidir ve diziler arasındaki lokal benzerlik bölgelerini bulur. BLAST programları hassasiyetten ve doğruluktan çok az taviz vererek hız için tasarlanmıştır. BLAST araması sonucu eşleştirme istatistiksel anlamlılığının hesaplanmasıyla elde edilen skorların iyi tanımlanmış istatistiksel yorumu vardır ve gerçek benzerlikleri rasgele olanlardan kolaylıkla ayıırlar (Anonymous 2007-h). BLAST sezgisel (heuristic) bir algoritma kullandığı için sadece izole bölgelerinde benzerlik olan diziler arasındaki ilişkiye de tespit edebilir (Altschul *et al.* 1990). BLAST algoritması doğruluğu çok az daha yüksek olan Smith-Waterman algoritmasına (Smith and Waterman 1981) yakın sonuç almaya çalışan ancak ondan yaklaşık 50 kez daha hızlı çalışan bir algoritmadır.

BLAST algoritması sezgisel bir arama metodu olup uzunluğu W (W değeri “default” olarak proteinler için 3) olan “sözcükler” arar. İlgilenilen (sorgulanınan) diziyle hizalandığında ve “substitution matrix” (yerine koyma matriksi) ile skorlandığında en az T skoru veren sözcükleri bulur. Veri bankasında bulunan ve T veya daha yüksek skor veren sözcükler her iki yönde uzatılır. Bundaki amaç tanımlanmış eşik değerden en azından S veya E değeri daha düşük skorlu olan “lokal olarak optimum ve boşlusuz olan hizalamayı” veya “HSP”yi (high scoring pair, yüksek skor veren çift) bulmaktadır. Bu kriterleri karşılayan HSP’ler BLAST tarafından rapor olarak verilir (Şekil 3.1.).



Şekil 3-1. BLAST algoritması (Anonymous 2007-h’den değiştirilerek alınmıştır).

Çizelge 3-1. *R. americana* mtDNAsı tarafından kodlanan oksidatif fosforilasyon kompleks altbirimleri ve bunların mitokondriyal ve nükleer insan ortologları. DNA ve protein düzeyinde benzerliklerin “BLAST” programında karşılaştırılması için kullanılan dizilerin referans numaraları listelenmiştir. (mtDNA: mitokondri DNA’sı, nDNA: nükleer DNA, RA: *Reclinomonas americana*, HS: *Homo sapiens*) (Anonymous 2007-g)

Oksidatif fosforilasyon enzim komplekslerinin altbirimleri								
altbirim adı	mtDNA		nDNA	gen no (gi)		protein no		
	RA	HS	HS	RA	HS	RA	HS	
ND1	X	X		11466505	17981853	NP_044754	NP_536843	
ND2	X	X		11466553	17981854	NP_044802	NP_536844	
ND3	X	X		11466536	17981860	NP_044785	NP_536850	
ND4	X	X		11466552	17981862	NP_044801	NP_536852	
ND4L	X	X		11466550	17981861	NP_044799	NP_536851	
ND5	X	X		11466551	17981863	NP_044800	NP_536853	
ND6	X	X		11466532	17981864	NP_044781	NP_536854	
CYTB	apositokrom b	X	X	11466557	17981865	NP_044806	NP_536855	
COX1	sitokrom c oksidaz altbirim 1	X	X	11466559	17981855	NP_044808	NP_536845	
COX2	sitokrom c oksidaz altbirim 2	X	X	11466560	17981856	NP_044809	NP_536846	
COX3	sitokrom c oksidaz altbirim 3	X	X	11466507	17981859	NP_044756	NP_536849	
ATP6	ATP sentaz F0 altbirim 6	X	X	11466555	17981858	NP_044804	NP_536848	
ATP8	ATP sentaz F0 altbirim 8	X	X	11466525	17981857	NP_044774	NP_536847	
ND7	NADH dehidrojenaz altbirim 7	X		X	11466533	34147556	NP_044782	NM_004550
ND8	NADH dehidrojenaz altbirim 8	X		X	11466496	115528430	NP_044745	NP_002487
ND9	NADH dehidrojenaz altbirim 9	X		X	11466534	4758787	NP_044783	NP_004542
ND10	NADH dehidrojenaz altbirim 10	X		X	11466535	38524584	NP_044784	EAW69507
ND11	NADH dehidrojenaz altbirim 11	X		X	11466504	33519475	NP_044753	NP_004997
SDH2	süksinat:ubikinon oksidoredüktaz altbirim 2	X		X	11466549	115387094	NP_044798	NP_002991
SDH3	süksinat:ubikinon oksidoredüktaz altbirim 3	X		X	11466547	119572984	NP_044796	EAW52599
SDH4	süksinat:ubikinon oksidoredüktaz altbirim 4	X		X	11466548	37182695	NP_044797	AVLL5809
ATP1	ATP sentaz F1 altbirim alfa	X		X	11466531	15030240	NP_044780	AAH11384
ATP3	ATP sentaz F1 altbirim gama	X		X	11466530	50345988	NP_044779	NP_001001973
ATP4	ATP sentaz altbirim b	X		X	11466556	22760354	NP_044805	BAC11163
ATP9	ATP sentaz F0 altbirim 9	X		X	11466528	85794840	NP_044777	NP_005167

4. ARAŞTIRMA BULGULARI VE TARTIŞMA

İnsan ve *R. americana* mtDNA'ları benzerlik yönünden karşılaştırılmıştır. Mitokondri DNA'ları arasındaki benzerlik sadece insan mtDNA'sının 9878 – 9947 bölgesi ile *R. americana* mtDNA'sının 20917 – 20986 bölgesinde arasında 56/70 (%80) özdeşlik olarak bulunmuştur. Bu bölge COX3'ü kodlayan bölgenin bir kısmıdır. MtDNA'sının diğer bölgelerinde benzerlik bulunamamıştır. *R. americana*'da mtDNA'sında bulunduğu halde insanda nükleer DNA'da bulunan oksidatif fosforilasyon kompleks altbirim genleri DNA benzerliği yönünden incelemişinde ND7, ND9, ND11, SDH2 ve ATP1'de benzerlik bulunmuştur. İnsan mtDNA'sında kodlanan genlerden sadece COX3'te (1/13, ~%7) DNA benzerliği kalmasına karşın nükleer DNA tarafından kodlanan genlerin 5'inde (5/12, ~41) benzerlik korunmuştur (Çizelge 4.1.).

Çizelge 4-1. İnsan ve *R. americana*'da Oksidatif fosforilasyon komplekslerinin altbirim genleri arasındaki DNA benzerliği. (RA: *Reclinomonas americana*, HS: *Homo sapiens*)

DNA benzerliği						
	Gen bölgesi		Skor	Beklenti	Benzerlik	Boşluk
	RA	HS				
mtDNA	20917-20986	9878-9947	54.5bits(28)	0.050	56/70(%80)	0/70 (0%)
ND1						
ND2						
ND3						
ND4						
ND4L						
ND5						
ND6						
CYTB						
COX1						
COX2						
COX3	686-755	671-740	54.5bits(28)	6,00E-04	56/70(%80)	0/70 (0%)
ATP6						
ATP8						
ND7	901-1187	1550-1836	96.8 bits (50)	2,00E-16	208/287 (72%)	0/287 (0%)
	352-491	1001-1140	79.5 bits (41)	3,00E-11	107/140 (76%)	0/140 (0%)
ND8						
ND9	346-498	505657	75.7 bits (39)	2,00E-10	115/153 (75%)	0/153 (0%)
ND10						
ND11	238-323	455-540	85.3 bits (44)	8,00E-13	72/86 (83%)	0/86 (0%)
	1632-1730	1819-1917	69.9 bits (36)	3,00E-08	78/99 (78%)	0/99 (0%)
	91-201	308-418	64.1 bits (33)	2,00E-06	85/111 (76%)	0/111 (0%)
SDH2	292-367	542-617	43.0 bits (22)	1,50	58/76 (76%)	0/76 (0%)
SDH3						
SDH4						
ATP1	604-1244	872-1512	142 bits (74)	3,00E-30	452/641 (70%)	0/641 (0%)
	99-165	373-439	48.8 bits (25)	0.060	53/67 (79%)	0/67 (0%)
ATP3						
ATP4						
ATP9						

İnsan ve *R. americana* mtDNA'ları benzerlik yönünden karşılaştırılması sonucu sadece COX3'ü kodlayan bölgenin bir kısmında benzerlik bulunup diğer bölgelerinde benzerlik bulunamamış olması mtDNA'sının çok yüksek mutasyon hızına bağlı olabilir. Bunu destekleyen diğer bulgu *R. americana*'da mtDNA'sında bulunup da insanda nükleer DNA'da bulunan oksidatif fosforilasyon kompleks altbirim genlerindeki DNA benzerliğinin yaklaşık 6 kat daha fazla olmasıdır [(1/13, ~7%)'ye karşılık (5/12, ~41)]. Muhtemelen nükleer DNA'daki mutasyon hızı yavaş olduğu için bu genlerin mitokondriyal atalarına daha benzer kaldıkları ileri sürülebilir.

R. americana mtDNA'sının kodladığı oksidatif fosforilasyon kompleks altbirimlerinin amino asit düzeyinde insandaki ortologlarıyla benzerliği incelendiğinde; insan mtDNA'sında kodlananlardan sadece ND6 ve ATP8'de benzerlik bulunamamış olup diğer 11 proteinde benzerlik bulunmuştur. İnsanda nükleer DNA tarafından kodlananların tamamında benzerlik bulunmuş olup *R. americana* SDH4 ve ATP4'ün insan genomunda ortologları bulunamadığı için benzerlikleri incelenmemiştir. Proteinlerdeki benzerlik açısından nükleer genomda kodlananlardaki benzerlik mitokondriyal genomda kodlananlara göre çok daha yüksektir (Çizelge 4.2.).

R. americana mtDNA'sında kodlanan oksidatif fosforilasyon kompleks altbirimleri amino asit düzeyinde insandaki ortologlarıyla karşılaştırıldığında; insan mtDNA'sında kodlananlardan ND6 ve ATP8 dışında diğer 11 proteinde benzerlik bulunup nükleer DNA tarafından kodlananların ise tamamında benzerlik bulunması mtDNA'sının nükleer DNA'ya göre çok daha fazla mutasyona uğramasıyla açıklanabilir. Primitif mitokondri genomundan nükleusa transfer olan genlerde muhtemelen nükleer DNA'nın mutasyon hızının daha düşük olmasına bağlı olarak benzerlik daha fazla korunmuştur. Yine de protein yapısının korunması DNA'ya göre çok daha yüksek düzeydedir.

İnsan mtDNA'sının kodladığı 13 protein geninin nükleusa transfer olamamasındaki evrimsel engellerden birisi de mitokondri DNA'sının farklı kodon kullanmaya başlaması olabilir. MtDNA'sı tarafından triptofan (W) olarak kodlanan UGA kodonu standart kod kullanımında STOP kodlamaktadır (Bullerwell and Lang 2005). İnsan mtDNA'sındaki UGA kodonlarının yüksek sayıda olması (ND1: 9, ND2: 10, ND3: 4, ND4: 12, ND5: 11, ND6: 3, CYTB: 11, COX1: 16, COX2: 3, COX3: 8, ATP6: 3, ATP8: 2) (Çizelge 4.3.) mtDNA'sının nükleer DNA'ya transferindeki önemli bariyerlerden birini oluşturuyor olabilir. MtDNA'sının farklı kodon kullanımları olmasının nasıl bir evrimsel avantaj sağladığı tam bilinmemekte beraber mitokondriyal genetik kodların proteinlerin aminoasit ihtiyacını karşılamak için evrimleştiği ileri sürülmüştür (Swire *et al.* 2005). Ayrıca bu durum mtDNA'sının yüksek mutasyon hızının tamponlanmasında ek avantaj sağlayabilir.

İnsan mtDNA'sında ATA kodonu içeren ve kodon kullanımının standarttan mitokondri kodon kullanımına evrimi sürecinde de orijinal halinde kalarak izolözin (I) yerine metiyonin (M) kodlayan sadece 3 bölge bulunmuştur. Bu üç bölge yüksek olasılıkla evrimsel olarak korunmuş bölgelerdir. Çünkü bu bölgeler DNA düzeyinde de korunmuştur. Bu üç bölgeden 2'si CYTB üzerinde 11. ve 366. aminoasitler, 3.sü ise COX3 üzerindeki 10. aminoasittir (Şekil 4.1.). Bu bölgeler mitokondriyal kodon kullanımının evriminin mutasyonel etkisinin delili olarak kabul edilebilir.

Çizelge 4-2. İnsan ve *R. americana*'da Oksidatif fosforilasyon komplekslerinin altbirim genleri arasındaki protein benzerliği. (RA: *Reclinomonas americana*, HS: *Homo sapiens*)

Protein benzerliği								
	aa sayısı		Protein bölgesi		Skor	Beklenti	Benzerlik	Pozitiflik
	RA	HS	RA	HS				
ND1	333	318	8-330	3-318	237 bits (605)	7,00E-61	144/323 (44%)	216/323 (66%)
ND2	498	347	127-443	16-297	90.1 bits(222)	4,00E-16	75/317 (23%)	143/317 (45%)
ND3	122	115	22-121	13-113	81.6 bits (200)	1,00E-14	38/102 (37%)	64/102 (62%)
ND4	493	459	10-465	5-447	235 bits (600)	6,00E-60	147/468 (31%)	250/468 (53%)
ND4L	102	98	13-101	9-97	47.8 bits (112)	2,00E-04	26/89 (29%)	49/89 (55%)
ND5	670	603	62-639	66-602	327 bits (837)	3,00E-87	205/578 (35%)	311/578 (53%)
ND6	205	174			benzerlik yok			
CYTB	390	378	7-377	9-377	462 bits (1189)	2,00E-128	212/371 (57%)	272/371 (73%)
COX1	531	513	5-526	2-512	706 bits (1823)	0,00E+00	331/523 (63%)	413/523 (78%)
COX2	260	227	28-248	6-217	230 bits (586)	9,00E-59	111/221 (50%)	146/221 (66%)
COX3	267	260	7-265	4-260	329 bits (843)	1,00E-88	145/259 (55%)	188/259 (72%)
ATP6	249	226	37-244	20-224	114 bits (284)	8,00E-24	68/208 (32%)	117/208 (56%)
ATP8	133	68			benzerlik yok			
ND7	396	463	10-396	77-463	648 bits (1672)	0,00E+00	306/387 (79%)	348/387 (89%)
ND8	162	210	2-162	50-210	278 bits (712)	7,00E-74	127/161 (78%)	144/161 (89%)
ND9	204	264	10-195	58-244	242 bits (617)	1,00E-62	112/187 (59%)	142/187 (75%)
ND10	182	298	27-182	143-298	281 bits (718)	2,00E-74	127/156 (81%)	145/156 (92%)
ND11	691	727	1-684	31-710	721 bits (1860)	0,00E+00	371/697 (53%)	479/697 (68%)
SDH2	239	280	7-233	38-268	365 bits (937)	1,00E-99	168/231 (72%)	197/231 (85%)
SDH3	144	189	16-138	65-184	71.2 bits (173)	1,00E-11	43/124 (34%)	67/124 (54%)
SDH4	120	159			benzerlik yok			
ATP1	512	553	6-510	49-551	706 bits (1821)	0	363/505 (71%)	426/505 (84%)
ATP3	281	298	1-276	25-297	179 bits (455)	2,00E-43	113/280 (40%)	167/280 (59%)
ATP4	197	597			benzerlik yok			
ATP9	75	198	5--73	128-196	94.0 bits (232)	2,00E-18	47/69 (68%)	57/69 (82%)
								0/69 (0%)

Çizelge 4-3. İnsan mitokondri DNA'sında, kodon kullanımının standart kodon kullanımından mitokondriyale evrimi nedeniyle, standart koddaki "STOP" yerine "triptofan (W)" ve "izolösin (I)" yerine "metiyonin (M)" kodlayan kodonların altbirimlere göre sayıları. Özellikle "stop" kodonları mitokondri DNA'sının nükleer DNA'ya transferinin öndeği en büyük bariyerlerden biri olabilir.

altbirim	Kodon sayısı	
	UGA (Stop -->W)	AUA (I-->M)
ND1	9	12
ND2	10	22
ND3	4	7
ND4	12	24
ND4L	0	9
ND5	11	23
ND6	3	2
CYTB	11	13
COX1	16	25
COX2	3	7
COX3	8	8
ATP6	3	8
ATP8	2	5

CYTB (I)

		CCC	CTA	ATA	AAA	TTA	ATT	AAC	
HS	Query 9	P	L	M	K	L	I	N	15
		P	L	+	+	E	L	N	
RA	Sbjct 7	P	L	I	R	GAA	CTT	AAT	13
		CCA	CTA	ATA	CGT				
HS	C C C C T A A T A A A T A T A T A T T A T A A C								
RA	C C A C T A A T A C G T G A A C T T A T A A T T A A T								

CYTB(II)

		CTA	ATC	CTA	ATA	CCA	ACT	ATC	
HS	Query 363	L	I	L	M	P	T	I	369
		L	+	+	P			+	
RA	Sbjct 363	L	V	F	I	P	L	L	369
		CTT	GTG	TTT	ATA	CCT	TTA	TTA	
HS	C T A A T C C T A A T A C C A A C T A T A T C T A T C								
RA	C T T G T G T T A T A C C C T T T A T T A T T A T T A								

CYTB (M—I)

MTPMRKINPLM(I)KLINHSFIDLPTPSNISAWWNFGSLLGACLILQITTGLFLAMHYSYPDASTAFSSIAHITRDVNYGWIIRYL
 HANGASMFICFLHICRGLYYGSFLYSETWNIGILLLATMATAFMGYVLPWGQMSFWGATVITNLLSAIPYIGTDLVQWI
 WGGYSVDSPTLTRFFTFFHFLPFIIAALAALHLLHETGSNNPLGITSHSDKITFHPPYYTIKDALGLLLFLSLMTLTLFSPDL
 LGDPDNYTANPLNTPPHIKPEWYFLFAYTILRSVPNKLGGVLALLSILAMILHMSKQQSMMFRPLSQSLYWLAAAD
 LLILT WIGGQPVSYPFTIIGQVASVLYFTITILM(I)PTISLIENKMLK

COX3

		CAT	GCC	TAT	CAT	ATA	GTA	AAA	
HS	Query 6	H	A	Y	H	M	V	K	12
		H		Y	H	+	V		
RA	Sbjct 9	H	P	Y	H	I	V	D	15
		CAT	CCG	TAT	CAC	ATA	GTT	GAT	
HS	C A T G C C T A T C A T A T A G T A A A A								
RA	C A T C C G T A T C A T C A T G T T G A T								

COX3 (M—I)

MTHQSHAYHM(I)VKPSPWPWTGALSALLMTSGLAMWFHFHSMTLLMLGLLTNTLMYQWWRDVTRESTYQGHHTPPV
 QKGLRYGMILFITSEVFFFAGFFWAFYHSSLAPTPQLGGHWPPGTPLNPLEVPLLNTSVLLASGVTSWAHSLMENNRR
 QMIQALLITILLGLYFTLHQASEYFESPFTISDGIGSTFFVATGFHGLVIIGSTFLTCIFRQLMFHTSKHHFGFEAAAWYH
 HFVDVVVWFLYVSIYWWG

Şekil 4-1. İnsan mtDNA'sında evrimsel olarak korunmuş ATA kodonlarının bulunduğu 3 bölge. Bu üç bölge kodon kullanımına evriminden dolayı izolözin (I) yerine metionin (M) kodlamaktadır. CYTB ve COX3 genleri üzerinde bulunan bu bölgeler protein üzerinde de gösterilmiştir.

5. SONUÇ

Mitokondriden nükleusa transfer olan genler mitokondriyal kodon kullanımına göre değil evrensel kodon kullanımına göre eksprese olmaktadır. Bu nedenle evrimsel olarak mitokondri farklı genetik kod kullanmaya başladıkten ve mitokondri genomu bu şekilde evrimleştiğinden sonra transfer olan genlerle ilgili yaygın bir mutasyonel durum ortaya çıkmış olmalıdır. Aynı durum insan mitokondriyal genomu için de geçerlidir. Bu çalışmada gösterilen üç genom bölgesi (Şekil 4.1.) bunu desteklemektedir. Genetik kod değişimine bağlı mutasyonel etki bazı genler için tolere edilebilmiş, bazıları için ise tolere edilememeyip yeni mutasyonlarla tolere edilebilir hale gelmiş olabilir. Ancak ortaya çıkan proteinin orijinal proteinden farklı olması işlevsel problemlere yol açmış ve halen de açmaya devam ediyor olabilir. Örneğin elektron transport zincirinde yer alan proteinlerin nükleer DNA tarafından kodlanan altbirimlerindeki bu türden bir işlevsel defekt zincirden elektron kaçağına ve dolayısıyla serbest radikal üretimine katkıda bulunuyor olabilir.

Bu mutasyonel etkinin bazı fizyolojik veya patolojik sonuçları olabilir. Bu sonuçların neler olabileceği amino asit dizilerindeki değişimin protein konformasyonuna etkisinin 3 boyutlu ab initio protein modellerinde gösterilmesiyle (Saunders and Baker 2002, Anonymous 2007-i, Anonymous 2007-j) tahmin edilebilir.

MtDNA'sının yaşlanması ve diğer patolojilerdeki rolü nedeniyle mitokondriyi DNA'dan kurtarıp kodladığı genleri nükleer DNA'ya transfer etme (allotopik ekspresyon) çalışmaları yapılmaktadır (Zullo *et al.* 2005). *R. americana* mtDNA'sı bu çalışmalarında çok yararlı olabilir. Çünkü genlerin nükleusa transfer olduğu bir evrimsel dönemin donmuş halini yansıtma ve standart kodon kullanmaktadır. Bu nedenle insanda allotopik ekspresyon için *R. americana* mtDNA genlerinin kullanılması da düşünülebilir.

KAYNAKLAR

- Alberts, B., Bray, D., Lewis, J., Raff, M., Roberts, K. and Watson, J. D. 1994. Molecular Biology of The Cell, Third Edition, Garland Publishing Inc., USA; 653-720.
- Andersson, S.G., Karlberg, O., Canback, B. and Kurland, C.G. 2003. On the origin of mitochondria: a genomics perspective. Philosophical Transactions of the Royal Society of London. Series B, Biological sciences, 358(1429);165-177.
- Anonymous 2007-a. MITOMAP: A Human Mitochondrial Genome Database. <http://www.mitomap.org>, 2007
- Anonymous 2007-b. HMPDb: The Human Mitochondrial Protein Database. <http://bioinfo.nist.gov:8080/examples/servlets/index.html>. 2006.
- Anonymous 2007-c. http://wps.prenhall.com/esm_freeman_evol_3/0,8018,850006,-00.html 2007.
- Anonymous 2007-d. <http://www.ncbi.nlm.nih.gov/genomes/ORGANELLES/organelles.html> 2007
- Anonymous 2007-e. <http://www.ncbi.nlm.nih.gov/Taxonomy/Utils/wprintgc.cgi?mode=c#SG1> 2007
- Anonymous 2007-f. <http://www.ncbi.nlm.nih.gov> 2007
- Anonymous 2007-g. http://www.ncbi.nlm.nih.gov/genomes/static/euk_o.html 2007
- Anonymous 2007-h. <http://www.ncbi.nlm.nih.gov/BLAST/> 2007
- Anonymous 2007-i. PredictProtein: B Rost, G Yachdav and J Liu. 2004. The PredictProtein Server. Nucleic Acids Research 32(Web Server issue):W321-W326.
- Anonymous 2007-j. <http://robetta.bakerlab.org> 2007
- Altschul, S.F., Gish, W., Miller, W., Myers, E.W. and Lipman, D.J. 1990. Basic local alignment search tool. Journal of Molecular Biology, 215;403-410.
- Benson, D.A., Karsch-Mizrachi, I., Lipman, D.J., Ostell, J., Rapp, B.A. and Wheeler, D.L. 2000. GenBank. Nucleic Acids Res,earch 28(1);15-18.
- Bullerwell, C.E. and Lang, B.F. 2005. Fungal evolution: the case of the vanishing mitochondrion. Current Opinion in Microbiology, 8(4);362-369.
- Karlberg, O., Canback, B., Kurland, C.G. and Andersson SG. 2000. The dual origin of the yeast mitochondrial proteome. Yeast, 17(3);170-187.
- Kurland, C.G. and Andersson, S.G. 2000. Origin and evolution of the mitochondrial proteome. Microbiology and Molecular Biology Reviews, 64(4);786-820.
- Lang, B.F., Brinkmann, H., Koski, L.B., Fujishim, M., Görtz, H.D. and Burger, G. 2005. On the origin of mitochondria and Rickettsia-related eukaryotic endosymbionts Japanese Journal of Protozoology, 38(2); 171-183.
- Lang, B.F., Burger, G., O'Kelly, C.J., Cedergren, R., Golding, G.B., Lemieux, C., Sankoff, D., Turmel, M. and Gray, M.W. 1997. An ancestral mitochondrial DNA resembling a eubacterial genome in miniature. Nature, 387(6632);493-497.
- Mannella, C. A., Marko, M. And Buttle, K. 1997. Reconsidering mitochondrial structure: new views of an old organelle. Trends in Biochemical Sciences, 22; 37-38.
- Martin, W. 2003. Gene transfer from organelles to the nucleus: Frequent and in big chunks. Proceedings of the National Academy of Sciences of the United States of America., 100(15);8612-8614.
- Olgun, A. 1998. Uzun Süreli Kalori Kısıtlamasının Oksidatif Fosforilasyon Kompleksleri Üzerindeki Etkisinin BN-PAGE Tekniği İle Araştırılması. Tıpta Uzmanlık Tezi. GATA, Ankara.
- Olgun, A., Akman, S., Serdar, M.A. and Kutluay, T. 2002. Oxidative phosphorylation enzyme complexes in caloric restriction. Experimental Gerontology, 37(5); 639-645.
- Saunders, C.T. and Baker, D. 2002. Evaluation of structural and evolutionary contributions to deleterious mutation prediction. Journal of Molecular Biology, 322(4); 891-901.
- Schatz, G. 1995. Mitochondria: beyond oxidative phosphorylation. Biochimica et Biophysica Acta, 1271; 123-126.
- Smith, T.F. and Waterman, M.S. 1981. Identification of Common Molecular Subsequences. Journal of Molecular Biology, 147; 195-197.
- Swire, J., Judson, O.P. and Burt, A. 2005. Mitochondrial genetic codes evolve to match amino acid requirements of proteins. Journal of Molecular Evolution, 60(1);128-139.
- Tzagoloff, A. 1982. Mitochondria, Plenum Press, USA.,
- Wheeler, D.L., Chappey, C., Lash, A.E., Leipe, D.D., Madden, T.L., Schuler, G.D., Tatusova, T.A. and Rapp, B.A. 2000. Database resources of the National Center for Biotechnology Information. Nucleic Acids Research, 28(1);10-14
- Zullo, S.J., Parks, W.T., Chloupkova, M., Wei, B., Weiner, H., Fenton, W.A., Eisenstadt, J.M. and Merril, C.R. 2005. Stable transformation of CHO Cells and human NARP cybrids confers oligomycin resistance (oli(r)) following transfer of a mitochondrial DNA-encoded oli(r) ATPase6 gene to the nuclear genome: a model system for mtDNA gene therapy.Rejuvenation Research, 8(1):18-28.

Sequence 2: lcltmpseq_1Homo sapiens mitochondrion, complete genome
Length = 781 (1 .. 781)

Score = 54.5 bits (28), Expect = 6e-04
Identities = 56/70 (80%), Gaps = 0/70 (0%)
Strand=Plus/Plus

Query	686	TATATCATTTCACAACATCACACATCATTTGGATTGAAAGCTCTGCTTGGTATTGGCATT	745
Sbjct	671	TATTCACTTACATCCAAACATCACTTGGCTTCGAAGCCGCCGCCTGATACTGGCATT	730

Mitokondriyal Altbirimler:

nd1

Sequence 1: lcltmpseq_0NADH dehydrogenase subunit 1 [Reclinomonas americana]
Length = 333 (1 .. 333)

Sequence 2: lcl|tmpseq_1NADH dehydrogenase subunit 1 [Homo sapiens]
Length = 318 (1 .. 318)

Score = 303 bits (776), Expect = 1e-80
Identities = 146/323 (45%), Positives = 223/323 (69%), Gaps = 7/323 (2%)

Query	8	LGKILGLVLPLLIKVAYLTLLERKVIAAMQQRKGPNVVGVFGLLQPLADGLKL + + L L++P+LI +A+L L ERK++ MQ RKGPNVVG +GLLQP AD +KL KE +	67
Sbjct	3	MANI.L.I.I.TVPTI.IAMAFL.MI.TERKII.GYMOI.RKGPNVVGVPGYGI.L.QPFADAMKI.FTKEPI.K	62

Query	68	PTRANSAIFILAPILTFLMSLVSWAVIPIDDGVMIAIDLNLIGLLYILSVSSLGVYGIITSG	127
		P + +I AP L +L+ W +P+ + V +LN+GLL+IL+ SSL VY I+ SG	
Sbjct	63	PATSTITIVITARTIALTIAILWTRIPMRNPRLV_NINICILELATSSLAIVSILWSC	120

Query	128	WSSNSKAYAFLGSLRSAAQMVSYEVSIGLIIITVLMCAGSLNLTQIVRCQESMWYIIPLF W+SNS YA +G+LR+ AQ +SYEV++ +I+++ L+ +GS NL+ ++ QE +W ++P +P	187
Subject	121	WLSNOMVNLIGALDAMVOTISYEVLTATILLGTLMGCGSMLSTLTTCFHLLWLDGW	190

```

Query 188 LFVMMFFISILAETNRSPFDLPEAEELVAGYNVEYSAMGFALFFLGEYANMILMCSMCTI 247
       L +M+FIS LAETNR+PFDL E E+ELV+G+N+EY+A FALFF+ EY N+I+M ++ T
Alnmt 181

```

Query 248 LFLGGWLAPLNILPFTLIPGSIWFGLKVVFLFVFIWVRATFPYRYDQLMRLGWKIFLP 307
 +FLG L+ +T +F K + L +F+W+R +PR+RYDQLM L WK FLP

Query 308 FSLGWVLFVAGVLVAFDWVPNTT 330

Sbjct 296 LTLALLMWYVSMPITISSIPQQT 318

Lambda K H

Gapped
Lambda K H

```
Matrix: BLOSUM62
Gap Penalties: Existence: 11, Extension: 1
Number of Sequences: 1
Number of Hits to DB: 961
Number of extensions: 570
Number of successful extensions: 3
Number of sequences better than 10.0: 1
```

```

Number of HSP's gapped: 1
Number of HSP's successfully gapped: 1
Length of query: 333
Length of database: 1,487,489,705
Length adjustment: 135
Effective length of query: 198
Effective length of database: 1,487,489,570
Effective search space: 294522934860
Effective search space used: 294522934860
Neighboring words threshold: 9
X1: 15 ( 7.2 bits)
X2: 129 (49.7 bits)
X3: 129 (49.7 bits)
S1: 40 (21.9 bits)
S2: 79 (35.0 bits)

```

nd2

Sequence 1: lcltmpseq_0NADH dehydrogenase subunit 2 [Reclinomonas americana]
Length = 498 (1 .. 498)

Sequence 2: lcltmpseq_1NADH dehydrogenase subunit 2 [Homo sapiens]
Length = 347 (1 .. 347)

```

Score = 90.1 bits (222), Expect = 4e-16
Identities = 75/317 (23%), Positives = 143/317 (45%), Gaps = 35/317 (11%)

Query 127 GMLLIISSYDLMSMYLAIEFQSLCLYVLAASFKRNSLFSVEAGLKLYFVLGAFSSGIMLFGI 186
          G L+ S ++ +E L + K N S EA +KYF+ A +S I+L I
Sbjct  16 GTLITALSSHWFPTWVGLEMNMLAFIPVLTKKMNPR-STEAAIKYFLTQATASMILLMAI 74

Query 187 SILYGFTGVTFEDLGKLLIFSSNESLSSSGIILGIVFISVGLLFKIYAVPFHVWVPDV 246
          F ++ S + ++++ + I + + K+ PFH WVP+V
Sbjct  75 L-----FNNM-----LSGQWTMTNTTNQYSSLMMAMAMKLGMAPFHFWPVEV 118

Query 247 YQGSPTIVTAFFAIVPSISVLTLLTRLYSSVHLIDLQYWQPVFIFCSIASMLIGSLGALS 306
          QG+P ++ ++++ ++ S+ L+ + SI S++ GS G L+
Sbjct 119 TQGTPLTSGLLLTLWQKLAPISIMYQISPNSLVNSSL-----LTLSILSIMAGSWGGLN 171

Query 307 QRRIKRLLAYSAIGHVGYVLIALSTGTPEGIRGLLVYIVIYIIMSACFFTILLSRKREN 366
          Q +++++LAYS+I H+G+++ L P ++ + IYII++ T L L +
Sbjct 172 QTQLRKILAYSSITHMGWMMAVL---PYNPNMТИLNLTIYIILT---TAFLLLNLNSS 224

Query 367 NTQIVMIDELRALYKSNPILSLLAIVLFSMAGIPPLAGFFSKLYVFLPAIHEGLFLLVV 426
          T +++ L P++ T L S+ G+PPL GF K + ++
Sbjct 225 TTLLLSRTWNKLTWLPLIPST---LLSLGGLPPLTGFLPKWAIIEFTKNNSLIPT 280

Query 427 VGIIASVISAVYYLGLI 443
          + +++++ +YL LI
Sbjct 281 IMATITLLNLYFYLRLI 297

```

nd3

Sequence 1: lcltmpseq_0NADH dehydrogenase subunit 3 [Reclinomonas americana]
Length = 122 (1 .. 122)

Sequence 2: lcltmpseq_1NADH dehydrogenase subunit 3 [Homo sapiens]
Length = 115 (1 .. 115)

```

Score = 81.6 bits (200), Expect = 1e-14
Identities = 38/102 (37%), Positives = 64/102 (62%), Gaps = 3/102 (2%)

```

```

Query 22 LSCIILGLSYVLATQNADTEKSPYECGFNPFDARGAFDVRFYLVAILFIIFDLEVAFL 81
          L+ +++ +++ L N EK +PYECGF+P AR F ++F+LVAI F++FDLE+A L
Sbjct 13 LALLLMIIITFWLPQLNGYMEKSTPYECGFDPMSPARVPSMKFFLVAITFLLFDLEIALL 72

```

Query	82	--FPWAVALSDVTIFGFWTMFIFLLILTVGFIYEWKKGALDW	121
		PWA+ +++ + + + +IL + YEW + LDW	
Sbjct	73	LPLPVALQTTNLPLM-VMSSLLLIIILASLAYEWLQKGLDW	113

nd4

Sequence 1: lcltmpseq_0NADH dehydrogenase subunit 4 [Reclinomonas americana]
Length = 493 (1 .. 493)

Sequence 2: lcltmpseq_1NADH dehydrogenase subunit 4 [Homo sapiens]
Length = 459 (1 .. 459)

Score = 235 bits (600), Expect = 6e-60
Identities = 147/468 (31%), Positives = 250/468 (53%), Gaps = 37/468 (7%)

Query	10	LLPTIILTPILGVFILFLIPGWKTSLIKQVSLYASLLT--FILSFLWIFFDKSTSFKQF	67
		++PTI+L P+ T L K+ ++ + T I+S+ +FF++ +	
Sbjct	5	IVPTIMLLPL-----TWLSKKHMIWINTTHSLIISIPLLFFNQINNNL--	49
Query	68	VYEVNWIETLNIHFSLGIDGISLFLVILTTFLIPLCILTGWESIKHNI---KEYMICFL	123
		+ + D ++ L++LT+L+PL I+ + K Y+ +	
Sbjct	50	-----FSCSPTFSSDPLTPPLMLTTWLLPLTIMASQRHLSSEPLSRKKLYLSMLI	100
Query	124	LLDALLIMIFCVLDLVLFYIFFESVLIPMFIVIGVWGSRERKVRAAYMLFLYTFFGSLLM	183
		L LIM F +L++FYIFFE+ LIP +I WG++ ++ A YT GSL +	
Sbjct	101	SLQISLIMTFTATELIMFYIFFETTLIPTLAIITRWGNQPERLNAGTYFLFYTLVGSPL	160
Query	184	LIAIMVIYFDAGTTDIQVLLTT--EFSQE-RQKLLWLAFFISFAIKIPMVPFHVLPEAH	240
		LIA++ + G+ +I +L T E S L+WLA+ ++F +K+P+ H+WLP+AH	
Sbjct	161	LIALIYTHNTLGSLNILLTLTAQELSNSWANNLMWLAYTMAFMVKMPYGLHLWLPKAH	220
Query	241	VEAPTAGSVLLLAGVLLKGYYGILRFSIPMFPEATVYFTPLVYTMISIIAIYTSLTTLRQ	300
		VEAP AGS++LA VLLKGYYG++R ++ + P P + S+ +I TS LRQ	
Sbjct	221	VEAPIAGSMVLAAVLLKGYYGMMRLTLILNPLTKHMAYPFL-VLSLWGMIMTSSIICLRQ	279
Query	301	IDLKRIIAYSSVAHMNFVTIGMFSLNMQGLEGSILLMLSHGIVSSALFLCIGVLYDRHKT	360
		DLK +IAYSS++HM V + G+++LM++HG+ SS LF Y+R +	
Sbjct	280	TDLKSLIAYSSISHMALVVTAILIQTWSFTGAIVLIMIAHGLTSSLFCLANSNYERTHS	339
Query	361	RLLKYYSGVVQTMPIFATLFMLFTMANISLPGTSSFVGFLIGAFNSNTTVAFFATTG	420
		R++ G+ +P+ A ++L ++AN++LP T + +GE VL+ F+ +	
Sbjct	340	RIMILSQGLQTLPLMAFWWLLASLANLALPPTINLLGELSVLVTTFSWSNITLLTGLN	399
Query	421	IILGAAYSLLWLYNRVAFGNLKIEYIQFFYDVTRREMLVF---TPLVIL	465
		+++ A YSL+++ +G+L TR L+F +P+++L	
Sbjct	400	MLVTALYSYMFDTTQW GSLTHINNMKPSFTRENTLMFMHLSPILL	447

nd4l

Sequence 1: lcltmpseq_0NADH dehydrogenase subunit 4L [Reclinomonas americana]
Length = 102 (1 .. 102)

Sequence 2: lcltmpseq_1NADH dehydrogenase subunit 4L [Homo sapiens]
Length = 98 (1 .. 98)

Score = 47.8 bits (112), Expect = 2e-04

Identities = 26/89 (29%), Positives = 49/89 (55%), Gaps = 0/89 (0%)

Query	13	MILIFIIGLSGIFLNRKNIIIMLMSIELMLLAINFNFVVFSVYLDLVGQIFALLVLTVAA	72
		M+ F I L G+ + R +++ L+ +E M+L++ + ++ L+ I + +L AA	
Sbjct	9	MLAFTISLLGMLVYRSHLMSLLCLEGMMILSFIMATLMTLNTHSLLANIVPIAMLVFAA	68
Query	73	AESAIGLAILVIYRARGTIAVEQINLMK	101
		E+A+GLA+LV G V +NL++	
Sbjct	69	CEAAVGLALLVSISNTYGLDYVHNLLQ	97

nd5

Sequence 1: lcltmpseq_0NADH dehydrogenase subunit 5 [Reclinomonas americana]
Length = 670 (1 .. 670)

Sequence 2: lcltmpseq_1NADH dehydrogenase subunit 5 [Homo sapiens]
Length = 603 (1 .. 603)

```
Score = 327 bits (837), Expect = 3e-87
Identities = 205/578 (35%), Positives = 311/578 (53%), Gaps = 41/578 (7%)

Query   62      FNWIDSEMLHASWGFLFDLSLTVVMLIVVTIVSLLVHLYSIGYMSHDPHLPRFMSYLSLFT  121
          ++W ++     S F D +++ + V V+ + +S+ YM+ DP++ +F YL +F
Sbjct   66      WHWATTQTTQLSLSFKLDYFSMMFIPVALFVTWSIMEFSLWYMNSDPNINQFFKYLLIFL  125

Query   122      FFMLMLVTGDNFVQMFLGWEVGVLCSYLLINFWFTRLQANKSAIKAMIMNRIGDFGLSLG  181
          ML+LVT +N Q+F+GWEGVG+ S+LLI++W+ R AN +AI+A++ NRIGD G L
Sbjct   126      ITMLILVTANNLFLQLFIGWEGVGIMSFLLISWWYARADANTAAIQAVLYNRIGDIGFILA  185

Query   182      MMAIFFTFKSVDIFITVFALSPYMTDFNIIFFNYEVHALTLICILLFVGAVGKSSQLGLHT  241
          +           S D           + N           L+ +LL A GKS+QLGLH
Sbjct   186      LAWFILHSNSWD-----PQQMALLNANPSLTPLLGLLL--AAAGKSAQLGLHP  231

Query   242      WLPDAMEGPTPVSALEHAATMVTAGVFLIARCSPIFEYAPTALLVVTIVGAMTAFFAATT  301
          WLP AMEGPTPVSALEH++TMV AG+FL+ R P+ E +P + +GA+T FAA
Sbjct   232      WLPSAMEGPTPVSALEHSSTMVAGIFLLIRFHPLAENSPLIQTTLCLGAITTLFAAVC  291

Query   302      GLLQNDIKRVIAYSTCSQLGYMVFACGISGYSVGMFHLMNHAFFKALLFLSAGCVIHALA  361
          L QNDIK+++A+ST SQLG M+ GI+ + H+ HAFFKA+LF+ +G +IH L
Sbjct   292      ALTQNDIKKIVAFSTSSQLGLMMVTIGINQPHLAFLHICHTAFFKAMLFCMCSSIIHNLN  351

Query   362      DEQDMRRMGGIVKIVPFTYGMMLIGSMSLMGFPLTGFSKDVILELAFAKYTIDGTFAH  421
          +EQD+R+MGG++K +P T + IGS++L G PFLTGFYSKD I+E A YT +A
Sbjct   352      NEQDIRKMGGLLKTMPLTSTS LTIGSLALAGMPFLTGFYSKDHIIETANMSYT--NAWAL  409

Query   422      WLGTVAAFFTAFYSFRLIYLTLFGETNSPRTIINAHADAPFIMAFPLMILAVGSIFVGFB  481
          + +A T+ YS R+I LT G+ P T+ N + P ++ P+ LA GS+F GF+
Sbjct   410      SITLIATSLTSAYSTRMILLTGTGQPRFP-TLTNINENNPTLLN-PIKRRAAGSLFAGFL  467

Query   482      MKDMMIIGLGTDFWGNSLFTHPKNLTLIESEFIPTPIKLLPVVLSSITGATLAIILNNYCAR  541
          + + N P T IP +KL + ++ G A+ LN +
Sbjct   468      ITN-----NISPASPFTQTT-----IPLYLKLTLAVTFGLLTALDLNYLTNK  510

Query   542      FLVDLKISSLGRELYSFLNKRWYFDIVYNEYVGRTMLWFYGNISFKTIDKGLIEILGPYG  601
          LK+ S Y F N ++ + + + L N+ +D +E L P
Sbjct   511      ----LKMKSPLCTFY-FSNMLGFYPSITHRTIPYGLLTSQNLPLLLDLTWLEKLLPKT  565

Query   602      LERLVKRLTLRVSQLQTGYIYHYAFIMLFGITLIIITIV  639
          + + + T ++ Q G I Y F + L + ++
Sbjct   566      ISQ-HQISTSIITSTQKGMKLYFLSFFFPLILTLI  602
```

nd6

Sequence 1: lcltmpseq_0NADH dehydrogenase subunit 6 [Reclinomonas americana]
Length = 205

Sequence 2: lcltmpseq_1NADH dehydrogenase subunit 6 [Homo sapiens]
Length = 174

No significant similarity was found

cytb

Sequence 1: lcltmpseq_0apocytochrome b [Reclinomonas americana]
Length = 390 (1 .. 390)

Sequence 2: lcltmpseq_1cytochrome b [Homo sapiens]

Length = 378 (1 .. 378)

Score = 462 bits (1189), Expect = 2e-128
Identities = 212/371 (57%), Positives = 272/371 (73%), Gaps = 2/371 (0%)

Query 7	PLIRELNSFIVDYPTPSNLSYWWNFGFIAAFCLVVQIATGIFLAMHYTPHVDLAFISVEH	66
Sbjct 9	PLMKLINHSFIDLPTPSNISAWWNFGSLLGACLILQITTGLFLAMHYSPDASTAFSSIAH	68
Query 67	IMRDVNNGWLMRYIHANGASMFFIAVYIHMFRLGLYYGSYASPREFLWIIGVIIILLIMLT	126
Sbjct 69	I RDVNNGW++RY+HANGASMFFI +++H+ RGLYYGS+ W IG+I+LL + T	126
Query 127	AFMGYVLPWGQMSFWGATVITNLASAVPYIGEHIVYWLWGGFSVDNATLNRFYSLHYLFP	186
Sbjct 127	AFMGYVLPWGQMSFWGATVITNL SA+PYIG +V W+WGG+SVD+ TL RF++ H++ P	186
AFMGYVLPWGQMSFWGATVITNLLSAIPYIGTDLVQWIWGGYSVDSPTLTRFFTFFHILP	186	
Query 187	FIIAGLVGLHLIVLHEDGSNNPLGIDSVKDKIPFYPIYYVKDLFGIVVFGLFFSVFVFFY	246
Sbjct 187	FIIA L LHL+ LHE GSNNPLGI S DKI F+PYY +KD G++F L F	246
FIIAALAALHLLFLHETGSNNPLGITSHSDKITFH PYTTIKDALGLLLFLSLMTLTLFS	246	
Query 247	PNLLGHPDNYIEANPLVTTPHIVPEWYFLPFYAILRSIPNKLLGVIAVLVSILILIALPF	306
Sbjct 247	P+LLG PDNY ANPL TPPHI PEWYFL Y ILRS+PNKL GV+A+L+SILIL +P	306
PDLLGDPDNYTLANPLNTPPHIKPEWYFLFAYTILRSVPNKLGGVALLLSILILAMIPI	306	
Query 307	LNTSEIRSSQFRPIHRKLFWLFFVDCVILGWIGGNVPETPYLEIGQIATVFYFAYFLVFI	366
Sbjct 307	L+ S+ +S FRP+ + L+WL D +IL WIGG P+ IQQ+A+V YF L+ +	366
LHMSKQQSMMFRPLSQSLYWLLAADLLILTWIGGQPVSYPFTIIGQVASVLYFTTILILM	366	
Query 367	PLLGKLESYLI 377	
Sbjct 367	P + +E+ ++	
PTISLIENKML 377		

cox1

Sequence 1: lcltmpseq_0cytochrome c oxidase subunit 1 [Reclinomonas americana]
Length = 531 (1 .. 531)

Sequence 2: lcltmpseq_1cytochrome c oxidase subunit I [Homo sapiens]
Length = 513 (1 .. 513)

Score = 706 bits (1823), Expect = 0.0
Identities = 331/523 (63%), Positives = 413/523 (78%), Gaps = 13/523 (2%)

Query 5	FVKRWFNSTNHKDIGALYIMFGTFAGITATTISVVMRLELGLPGNQILQGNHQLYNVLIT	64
Sbjct 2	FADRWLFSNTNHDIGTLYLLFGAWAGVLTALSLLIRAEGLQPGN--LLGNDHIYNVIFT	59
Query 65	AHGLLMLFMVVMPILLGGFCNFFVPLLIGAPDMAFPRLNNISFWLPPALLLFFSALVE	124
Sbjct 60	AHAFVMIFFMVMPIMIGGFGNWLVPLMIGAPDMAFPRLNNMSFWLPPSLLLLASAMVE	119
Query 125	VGAGTGWTAYPPLSGIQSHSGASVDAIFSLHLSGASSVLASINFITIIFNMRAPGMTMH	184
Sbjct 120	GAGTGWTYPPL+G SH GASVDL IFSLHL+G SS+L +INFITI NM+ P MT +	179
AGAGTGWTVYPPLAGNYSHPGASVDLTIFSLHLAGVSSILGAINFITTIINMKPPAMTQY	179	
Query 185	RMPLFVWSILVTSFLLVFALPVLAGGITMLLTDRNFNTTFDPAGGGDPVLFQHLFWFFG	244
Sbjct 180	+ PLFVWS+L+T+ LL+ +LPVLA GITMLLTDNR NTTFFDPAGGGDP+L+QHLFWFFG	239
QTPLFVWSVLITAVLLLSLPVLAAGITMLLTDRNLNTTFDPAGGGDPILYQHLFWFFG	239	
Query 245	HPEVYILVIPGFGVVSHVISAFS-RRPIFGYLGGMVYAMSSSIGVLGFIVWAHHMYTVGMDV	303
Sbjct 240	HPEVYIL+PGFG++SH+++ +S ++ FGY+GMV+AM SIG LGFIVWAHHM+TVGMDV	299
HPEVYILIPGFGMISHIVTYSGKKEPFGYGMGVWAMMSIGFLGFIWVAHHMFTVGMDV	299	

Query	304	DTRAYFTAATMVIAPTGKIFSWLATWGGSIELKAPMLFAVGFVFLFTGGLTGVVLS	363
		DTRAYFT+ATM+IAIPTG+K+F _{SWLAT+} G +++ A +L+A+GF+FLFT GGLTG+VL+	
Sbjct	300	DTRAYFTSATMIIAIPGVKVFSWLATLHGSNMKWSAAVLWALGFIFLFTVGGLTGIVLA	359
Query	364	NSGLDIALHD _{TYYVVAHFHYVLSMGAMFAIYAAFYWF} GKITGYQYPEKLAQVQFWTTFI	423
		NS LDI LHDTYYVVAHFHYVLSMGAF+AI F +WF +GY + A++ F FI	
Sbjct	360	NSSLDIVLHD _{TYYVVAHFHYVLSMGAVFAIMGGF} IHWFPFLFSGYTL _{DQTYAKI} HFTIMFI	419
Query	424	GVNL _{TFPMHFLGLSGMP} R _{RI} P _{DY} PDAF _{SGWN} A _{VSSY} G _{SL} V _{TTFS} II _{LWFY} I _{IVYRTLTDG}	483
		GVNL _{TF} FFP _{HFLG} LSGMP _{RR} D _{YP} DA _{+WN} + _{SS} GS ++ ++ _L +++	
Sbjct	420	GVNL _{TF} FPQH _F FLG _L SGMP _{RR} YSD _{DY} DAYTTWNILSSVG _{FS} ISLTAV _{MLM} IF _M WEAFASK	479
Query	484	V _K C _G N _D P _W G _L A _V G _E P _G K _E H _F A _T L _E WT _L T _S PP _L S _H T _F E _E V _P Y _I K	526
		K L V EP LEW PP HTFEE Y+K	
Sbjct	480	RKV-----LMVEEPS---MNLEWLYGC _{PP} YHTFEEPVYMK	512

cox2

Sequence 1: lcltmpseq_0cytochrome c oxidase subunit 2 [Reclinomonas americana]
Length = 260 (1 .. 260)

Sequence 2: lcltmpseq_1cytochrome c oxidase subunit II [Homo sapiens]
Length = 227 (1 .. 227)

Score =	230 bits (586), Expect = 9e-59		
Identities =	111/221 (50%), Positives = 146/221 (66%), Gaps = 9/221 (4%)		
Query	28	QLDFQDPATPVMEGIINLHHDLWFFLILIAVFVLWILLRTLWFFDRSRGTVP _{SKVVHGTV}	87
		Q+ QD +P+ME +I H + LI VL+ L TL + + +	
Sbjct	6	QVGLQDATSPIMEELITFHDHALMIIFLICFLVLYALFLTL----TTKLTNTNISDAQE	60
Query	88	LEIWTIAPSFI _{LLAIA} IAPS _{FALLY} SMEESTDPAITLKAI _{GHQWYWSYE} SD _{YT} TDSESL	147
		+E VWTI P+ IL+ IA+PS +LY +E DP++T+K+IGHHQWY+YEY+DY L	
Sbjct	61	METVWTILPAII _{LV} L _{IA} LPSLRILYMTDEVNDPSLT _{IKSIGH} QH _{QWY} TYE _{TDY} G----GL	116
Query	148	AFDSYMLPESELKE _{QLR} LLEVDNRIFLPT _{TH} HLRV _L ITSSDVLHSWAVPSL _{GV} KVDACP	207
		F+SYMLP L+ G LRLL+VDNR+ LP +R++ITS DVLHSWAVP+LG+K DA P	
Sbjct	117	IFNSYMLPPLFLEPGD _{LR} LLDV _{DN} RV _{LP} IEAPIRM _{MTS} QDVLHSWAVPTL _{GL} K _{TD} AIP	176
Query	208	GRLNQASIFLKR _E GIFYGQCSEICGVN _{HGF} MPIVIEAVPLK	248
		GRLNQ + R G++Y _Q CSEICG NH FMPIV+E +PLK	
Sbjct	177	GRLNQT _{TF} TATRPGVYYGQCSEICGANHSFMPIVLELIPLK	217

cox3

Sequence 1: lcltmpseq_0cytochrome c oxidase subunit 3 [Reclinomonas americana]
Length = 267 (1 .. 267)

Sequence 2: lcltmpseq_1cytochrome c oxidase subunit III [Homo sapiens]
Length = 260 (1 .. 260)

Score =	329 bits (843), Expect = 1e-88		
Identities =	145/259 (55%), Positives = 188/259 (72%), Gaps = 2/259 (0%)		
Query	7	KKHPYHIVDQSPWPLLTSIGTLCSTFGGMYFHSYPNGGFIAALGVSTILFSLYAWCRDI	66
		+ H YH+V SPWPL ++ L T G M+FH + LG+ T ++Y W RD+	
Sbjct	4	QSHAYHMVKPSPWPLTGALSALLMTSG _{LA} MWFHFHSMT--LLMLG _{LL} NTLTMYQWWRDV	61
Query	67	VREGTYQGQHTAAVQNGLR _{IG} MILFI _I SEVMFFVSFFWAFFHSSL _S PTIEIGAVW _{PP} QGI	126
		RE TYQG HT VQ GLR GMILFI SEV FF FFWAF+HSSL+PT ++G WPP GI	
Sbjct	62	TRESTYQGHHTPPVQKGLRYGMILFITSEVFFFAGFFWAFYHSSLAPTPQLGGHWPPTGI	121
Query	127	ETLNAWDV _P FLNTVILLMSGATVTWSHAMI _{HGN} RTQS _I LGLIFTII _L AVTFTGLQVM _{EY}	186
		LN +VP LNT +LL SG ++TW+HH++ NR Q I L+ TI+L + FT LQ EY	
Sbjct	122	TPLNPLEV _P LNTSVLLASGV _S ITWAHHS _M ENNNRQMIQALLIT _{LL} GLYFTLLQASEY	181

Query	187	REASFISIADGIYGSTFYMATGFHGFHVIVGTCMLSCLVREYLYHFTTHHGF <small>EASAWY</small>	246
		E+ F+I+DGIYGSTF++ATGFHG HVI+G+ L+C +R+ ++HFT+ HHFGFEA+AWY	
Sbjct	182	FESPFTISDGIYGSTFFVATGFHGLHVIIGSTFLTICFIRQLMFHTSKHHGF <small>EAAAWY</small>	241
Query	247	WHFVDVWLF L FTTIYWWG	265
		WHFVDVWLF L + +IYWWG	
Sbjct	242	WHFVDVWLF L LYVSIYWWG	260

atp6

Sequence 1: lcltmpseq_0ATP synthase F0 subunit 6 [Reclinomonas americana]
Length = 249 (1 .. 249)

Sequence 2: lcltmpseq_1ATP synthase F0 subunit 6 [Homo sapiens]
Length = 226 (1 .. 226)

Score = 114 bits (284), Expect = 8e-24
Identities = 68/208 (32%), Positives = 117/208 (56%), Gaps = 3/208 (1%)
Query 37 AVLSLVFFFYLATYKSSIVPNAWQSALESVYEFISGMVYQQIGSKGYKYLPLIFTTFI 96
AVL ++F L ++ N + + + S + +KG + ++ + FI
Sbjct 20 AVLIILFPPLLIPTSKYLINNRLITQQWLKILTSKQMMAMHNTKGR T WSMLVSLIIFI 79
Query 97 LACNM L GMPVYSFTVTSHLVITGLAMSIFIGVNIIAANQHGLHF <small>FS</small> FFLPQG I SLALAP 156
N+LG++P+SFT T+ L + L +A+ ++ G I+ + + FLPQG L P
Sbjct 80 ATTNLLG L PHSFTPTTQLSMNLAMA I PLWAGAVIMGFRSKIKNALAHFLPQGTPTPLIP 139
Query 157 FLVLIEIISYLF R VSLAVRLFANMMSGHALLKILAGF S WTMSSKGGLIAVASI I PLAIV 216
LV+IE IS L + ++LAVRL AN+ +GH L+ ++ + MS+ + ++++I I+
Sbjct 140 MLVIIETISL L IQPMALAVRLTANITAGHLLMH L IGSATLAMST---INLPSTL I IFTIL 196
Query 217 FALTGLELAI A FLQAYVFAILVC I YLND 244
LT LE+A+A +QAYVF +LV +YL+D
Sbjct 197 ILLTILEIAVALI Q AYVFTLLVSLY L H 224

atp8

Sequence 1: lcltmpseq_0ATP synthase F0 subunit 8 [Reclinomonas americana]
Length = 133

Sequence 2: lcltmpseq_1ATP synthase F0 subunit 8 [Homo sapiens]
Length = 68

No significant similarity was found

nükleer genler:

nd7

Sequence 1: [gi|11466495|gi|11466495](#) Reclinomonas americana mitochondrion, complete genome
Length = 1191 (1 .. 1191)

Sequence 2: lcl|seq_2
Length = 2061 (1 .. 2061)

Score = 96.8 bits (50), Expect = 2e-16
Identities = 208/287 (72%), Gaps = 0/287 (0%)
Strand=Plus/Plus
Query 901 CGAGTAGATATGAAAGATTCTATGGAA G CACTCATACATCATTCAAATTATACCGAA 960
Sbjct 1550 CGAGCAGAGATGAAGACTCCATGGAGTC A CTGATT C ACTCACTTAAGTTGATACTGAG 1609

Query	961	GGATATTCACTACCTATAGGTGAAACATATAACAGCTGTTGAAGCACCTAAAGGAGAATT	1020
Sbjct	1610	GGCTACCAAGTCCCTCCAGGAGCCACATATACTGCCATTGAGGCTCCAAGGGAGAGTT	1669
Query	1021	GGTGTCTTATTTAGTTCTGATGGTAGTAGTAAACCTTATAGATGTAAAATAAGCTCCT	1080
Sbjct	1670	GGGGTGTACCTGGTGTCTGATGGCAGCAGCGCCCTATCGATGCAAGATCAAGGCTCCT	1729
Query	1081	GGTTTTCTCATTTACAAGGTTAAATTTATGTCAAAAGGTATGATTGCTGATGTT	1140
Sbjct	1730	GGTTTGCCCCATCTGGCTGGTTGGACAAGATGTCTAAGGGACACATGTTGGCAGATGTC	1789
Query	1141	GTTACTATTATAGAACACAAGATATTGCTTTGGAGAAGTTGATCG	1187
Sbjct	1790	GTTGCCATCATAGGTACCAAGATATTGTTAGGAGAAGTAGATCG	1836

Score = 79.5 bits (41), Expect = 3e-11
 Identities = 107/140 (76%), Gaps = 0/140 (0%)
 Strand=Plus/Plus

Query	352	ATGGCTGTTACAACACATGCATTAGATGTTGGTGCTATGACACCTTTCTTGGGGATT	411
Sbjct	1001	ATGGCTGTCACCACACATGCCCTGGACCTGGGGCCATGACCCCTTCTCTGGCTGTT	1060
Query	412	GAAGAAAGAGAGAAATTAAATGGAATTCTATGAAAGAGTTCTGGTGCTCGATGCATGCT	471
Sbjct	1061	GAAGAAAGGGAGAAGATGTTGAGTTCTACGAGCGAGTGTCTGGAGGCCGAATGCATGCT	1120
Query	472	GCTTATATTAGACCAGGAGG	491
Sbjct	1121	GCTTATATCCGGCCAGGAGG	1140

Sequence 1: [gi|11466533|ref|NP_044782.1|](#) NADH dehydrogenase subunit 7 [Reclinomonas americana]
 Length = 396 (1 .. 396)

Sequence 2: lcl|seq_2
 Length = 463 (1 .. 463)
 Score = 648 bits (1672), Expect = 0.0
 Identities = 306/387 (79%), Positives = 348/387 (89%), Gaps = 0/387 (0%)

Query	10	LKNFTMNFGPQHPAAHGVLRLVLELNGEVVNRADPHIGLLHRGTEKLIYEKNYLQALPYF	69
		+KN T+NFGPQHPAAHGVLRLV+EL+GE+V + DPHIGLLHRGTEKLIYEK YLQALPYF	
Sbjct	77	VKNITLNFGPQHPAAHGVLRLVMELSGEMVRKCDPHIGLLHRGTEKLIYEKTYLQALPYF	136
Query	70	DRLDYVSMMQAHEAYSLAVEKLLGCEVPKRAQYIRVLFCETRILNHLMAVTTHALDVGA	129
		DRLDYVSMM E AYSLAVEKLL P RAQ+IRVLF EITR+LNH+MAVTTHALD+GA	
Sbjct	137	DRLDYVSMMCNEQAYSLAVEKLLNIRPPRQAWIRVLFGEITRLLNHIMAVTTHALDLGA	196
Query	130	MTPFLWGFEEREKLMFYERVSGARMHAAYIRPGGVSDMPMGLSEDIYKFAKQFGSRID	189
		MTPF W FEEREK+ EFYERVSGARMHAAYIRPGGV QD+P+GL +DIY+F+K F R+D	
Sbjct	197	MTPFFWLFEEREKMFYERVSGARMHAAYIRPGGVHQDLPLGLMDDIYQFSKNFSLRD	256
Query	190	EIEDVLSSNRIWQRLVDIGTVSAEEALDWGFSGVMLRGSGIAWDLRKTPQYDVYDELF	249
		E+E++L++NRIW+ R +DIG V+AEEAL++GFSGVMLRGSGI WDLRKTPQYDVYD++EF	
Sbjct	257	ELEELLTNRNIWRNRTIDIGVVTAAEALNYGFSGVMLRGSGIQWDLRKTPQYDVYDQVEF	316
Query	250	DIPVGTKGDCYDRYLIRVEEMRQSLKLIMQCLNKMPGTVIKVDDKKISPPSRVDMKDSME	309
		D+PVG++GDCYDRYL RVEEMRQSL++I QCLNKMP G IKVDD K+SPP R +MK SME	
Sbjct	317	DVPVGSRGDCYDRYLCRVEEMRQSLRIIAQCLNKMPGEIKVDDAKVSPPKRAEMKTSME	376
Query	310	ALIHHFKLYTEGYSVPIGETYTAVEAPKGEGFVYLVSDGSSKPYRCKIKAPGFSHLQGLN	369
		+LIHHFKLYTEGY VP G TYTA+EAPKGEGFVYLVSDGSS+PYRCKIKAPGF+HL GL+	
Sbjct	377	SLIHHFKLYTEGYQVPPGATYTAIEAPKGEGFVYLVSDGSSRPYRCKIKAPGF AHLAGLD	436

```

Query 370 FMSKGHMIADVVTIIGTQDIVFGEVDR 396
          MSKGHM+ADV V IIGTQDIVFGEVDR
Sbjct 437 KMSKGHMLADVVAIIGTQDIVFGEVDR 463

```

nd8

Sequence 1: [gi|11466495|gi|11466495](#) Reclinomonas americana mitochondrion, complete genome
Length = 489

Sequence 2: lclseq_2
Length = 779

No significant similarity was found

Sequence 1: [gi|11466496|ref|NP_044745.1|](#) NADH dehydrogenase subunit 8 [Reclinomonas americana]
Length = 162 (1 .. 162)

Sequence 2: lcl|seq_2
Length = 210 (1 .. 210)

Score = 278 bits (712), Expect = 7e-74
Identities = 127/161 (78%), Positives = 144/161 (89%), Gaps = 0/161 (0%)

```

Query 2 TIINKTAQTLFLTELVKGMSLTLDYFFRKVTLNYPFEKGPLSPRFGEHALRRYQTGEE 61
      ++ ++ A+TL TEL +G+ +TL Y FR+ T+NYPFEKGPLSPRFGEHALRRY +GEE
Sbjct 50 SVDTRAARTLLWTELFRGLGMTLSYLFREPATINYPFEKGPLSPRFGEHALRRYPSGEE 109
Query 62 RCIACKLCEAICPAQAITIESEPRIDGSRRTRYDIDMTKCIYCGFCQEACPVDAAIVEGP 121
      RCIACKLCEAICPAQAITIE+EPR DGSRRTTRYDIDMTKCIYCGFCQEACPVDAAIVEGP
Sbjct 110 RCIACKLCEAICPAQAITIEAEPRADGSRRTRYDIDMTKCIYCGFCQEACPVDAAIVEGP 169
Query 122 NFEFATETHEELLYDKEKLLQNGDRWETEIAANLANEALYR 162
      NFEF+TETHEELLY+KEKLL NGD+WE EIAAN+ + LYR
Sbjct 170 NFEFSTETHEELLYNKEKLLNNGDKWEAEIAANIQADYLYR 210

```

nd9

Sequence 1: [gi|11466495|gi|11466495](#) Reclinomonas americana mitochondrion, complete genome
Length = 615 (1 .. 615)

Sequence 2: lcl|seq_2
Length = 899 (1 .. 899)

Score = 75.7 bits (39), Expect = 2e-10
Identities = 115/153 (75%), Gaps = 0/153 (0%)
Strand=Plus/Plus

```

Query 346 TGGTTGAAAGAGAAGTTGGATCTTTGGCGTATTTCACTAATCATCCTGATT A 405
      ||||| ||||||| || | ||||| | ||||| || | || | || ||||| || |
Sbjct 505 TGGTATGAAAGGGAGATCTGGGACATGTTGGAGTCTCTTGCTAACACCCTGATCTA 564
Query 406 CGTAGAATTTAACAGATTATGGTTGAAGGACATCCAATGAGAAAAGATTTCTTT A 465
      | || || | ||||||||| || | || || || || | || || || || || |
Sbjct 565 AGAAGGGATCCTGACAGATTATGGCTTCGAGGGACATCCTTCCGGAAAGACTTCTCTA 624
Query 466 ACAGGTTATGTTGAAGTACGTTATGATGATGAA 498
      | || ||||||| || || || || || || || || |
Sbjct 625 TCTGGCTATGTTGAGTTACGTTATGATGATGAA 657

```

Sequence 1: [gi|11466534|ref|NP_044783.1|](#) NADH dehydrogenase subunit 9 [Reclinomonas americana]
Length = 204 (1 .. 204)

Sequence 2: lcl|seq_2
Length = 264 (1 .. 264)

Score = 242 bits (617), Expect = 1e-62
Identities = 112/187 (59%), Positives = 142/187 (75%), Gaps = 1/187 (0%)

Query 10	LKEFGISLIKMFPKYIDKAIYSK-GELTLHVKPNTNLIALMKILKNHTNCQFKSLSDLCAV	68
	L FG + ++ PKY+ + S EL + + P +I ++ L++HTN QFKSL DL AV	
Sbjct 58	LSAFGEYVAEILPKYVQQVQVSCFNELEVCIHPDGVIPVLTFLRDHTNAQFKSLVDLTAV	117
Query 69	DFPEKKERFEIVYNLLSVRYNSRIRVKTFVDELTPVPSVTCLFQAAGWFEREVWDLFGVY	128
	D P ++ RFEIVYNLLS+R+NSRIRVKT+ DELTP+ S +F+AA W+ERE+WD+FGV+	
Sbjct 118	DVPTRQRFEIVYNLLSLRFNSRIRVKTYTDELPIESAVSVFKAANWYEREIWDMFGVF	177
Query 129	FTNHPDLRRILTDYGFEGHPMRKDFPLTGTYEVRYDDEQKRVVTESLEMTQEFRSFNFTS	188
	F NHPDLRRILTDYGFEGHP RKDFPL+GYVE+RYDDE KRVV E +E+ QEFR F+ S	
Sbjct 178	FANHPDLRRILTDYGFEGHFRKDFPLSGYVELRYDDEVKRVVAEPVELAQEFRKFDLNS	237
Query 189	PWEQIEI 195	
	PWE +	
Sbjct 238	PWEAFPV 244	

Nd10

Sequence 1: [gi|11466495|gi|11466495](#) Reclinomonas americana mitochondrion, complete genome
Length = 549

Sequence 2: lcl|seq_2
Length = 787

No significant similarity was found

Sequence 1: [gi|11466535|ref|NP_044784.1|](#) NADH dehydrogenase subunit 10 [Reclinomonas americana]
Length = 182 (1 .. 182)

Sequence 2: lcl|seq_2
Length = 298 (1 .. 298)

Score = 281 bits (718), Expect = 2e-74
Identities = 127/156 (81%), Positives = 145/156 (92%), Gaps = 0/156 (0%)

Query 27	NKTEFIVSKMDELVNWARKGSLWPMTFGLACCAVEMMHSAASRYDLDRGIIIFRPSPRQS	86
	++ E++V+K+D+LVNWAR+ SLWPMTFGLACCAVEMMH AA RYD+DRFG++FR SPRQS	
Sbjct 143	SRGEYVVAKLDDLNVNWARRSSLWPMTFGLACCAVEMMHMAAPRYDMDRFGVVFRASPRQS	202
Query 87	DVMIVAGTLTNKMAPALRKVYDQMSEPRVVSMGSCANGGGYYHYSYSVVRGCDRIPVVD	146
	DVMIVAGTLTNKMAPALRKVYDQM EPR+VVSMSGSCANGGGYYHYSYSVVRGCDRIPVVD	
Sbjct 203	DVMIVAGTLTNKMAPALRKVYDQMPEPRYVVSMGSCANGGGYYHYSYSVVRGCDRIPVVD	262
Query 147	IYVPGCPPTAEALLYQLQLQKKIKRSRKTLYWLQK 182	
	IY+PGCPPTAEALLYG+LQLQ+KIKR R+ W ++	
Sbjct 263	IYIPGCPPTAEALLYGILQLQRKIKRERRRLQIYWRR 298	

Nd11

Sequence 1: [gi|11466495|gi|11466495](#) Reclinomonas americana mitochondrion, complete genome
Length = 2076 (1 .. 2076)

Sequence 2: lcl|seq_2
Length = 3417 (1 .. 3417)

Score = 85.3 bits (44), Expect = 8e-13

Identities = 72/86 (83%), Gaps = 0/86 (0%)
 Strand=Plus/Plus

Query	238	AAAAAAAGCACGTGAAGGTGTTCTTGAGTTTTATTAGTAAATCATCCATTAGATTGTCCT	297
Sbjct	455	AAAAAAAGCCAGGGAAAGGTGATGGAGTTCTTATTAGCAAATCACCCATTGGACTGTCCT	514
Query	298	ATTTGTGATCAAGGTGGTGAATGTGA	323
Sbjct	515	ATTTGTGACCAGGGAGGTGAATGTGA	540

Score = 69.9 bits (36), Expect = 3e-08
 Identities = 78/99 (78%), Gaps = 0/99 (0%)
 Strand=Plus/Plus

Query	1632	TTTTATTGTGATCAAGGACATCATGGTGATTATGGTGCAACATAGCAGATTTATATT	1691
Sbjct	1819	TTTCATTATTATCAAGGACATCATGGTGATGTTGGGCTCCCATAGCTGATTTATTCT	1878
Query	1692	ACCAGGTTCTGCTTATACAGAAAAAACAGCAACATATGT	1730
Sbjct	1879	CCCAGGAGCTGCTTACACAGAGAAGTCTGCTACATATGT	1917

Score = 64.1 bits (33), Expect = 2e-06
 Identities = 85/111 (76%), Gaps = 0/111 (0%)
 Strand=Plus/Plus

Query	91	CCTCGATTGTATCATGAAAGACTTCTATTGCAGGTAATTGAGATGTGTTAGTA	150
Sbjct	308	CCTCGATTCTGTTATCATGAAAGGTTGCTGTTGCTGGAAACTGCAGGATGTGCCCTGTT	367
Query	151	GAAGTTGAAAATGCCAAAACCAGTTGCTCTTGTGCAATGCCAGTAATG	201
Sbjct	368	GAAATTGAGAAAGCCCCATAAGGTTGAGCTGCTTGTGCCATGCCAGTAATG	418

Sequence 1: [gi|11466504|ref|NP_044753.1|](#) NADH dehydrogenase subunit 11 [Reclinomonas americana]
Length = 691 (1 .. 691)

Sequence 2: lcl|seq_2
Length = 727 (1 .. 727)

Score = 721 bits (1860), Expect = 0.0
 Identities = 371/697 (53%), Positives = 479/697 (68%), Gaps = 30/697 (4%)

Query	1	MVNVFVDSLVEVKKGATILQACAQVGIEIPRFCYHERLSIAGNCRMCLVEKSPKPVA	60
		++ VFVDG SV V+ G T+LQAC +VG+ +IPRFCYHERLS+AGNCRMCLVE+EK+PK VA	
Sbjct	31	LIEVFVFDGQSVMVPEGTTVLQACEKVMQIIPRFCYHERLSVAGNCRMCLVEIEKAPKVVA	90
Query	61	SCAMPVMDNMKIFTNTPLVKKAREGVLEFLVNHPLDPICDQGGECDLQDLTMVYGSDR	120
		+CAMPVM I TN+ KKAREGV+EFLL NHPLDCPICDQGGECDLQD +M++G+DR	
Sbjct	91	ACAMPVMKGWNILTNSEKSKKAREGVMEFLLANHPLDCPICDQGGECDLQDQSMMFGNDR	150
Query	121	GRFHEYKRGVEDKNIGPLVKTVTRCIHCTRCVRFATEVAGVPDLGTVGRGRDTEISTYI	180
		RF E KR VEDKNIGPLVKT+MTRCI CTRC+RFA+E+AGV DLGT GRG D ++ TYI	
Sbjct	151	SRFLEGKRAVEDKNIGPLVKTIMTRCIQCTRCIRFASEIAGVDDLTTGRGNMDQVGTYI	210
Query	181	QKVFNSELSGNVIDLCPVGALTSKPYAFTARSWELQSTESIDVSDAIGSNIRIDVRGSEI	240
		+K+F SELSGN+ID+CPVGALTSKPYAFTAR WE + TESIDV DA+GSNI + R E+	
Sbjct	211	EKMFMSLSGNIIDICPVGALTSKPYAFTARPWETRKTESIDVMDAVGSNIVVSTRGEV	270
Query	241	MRILPRLNEDVNEEWISDKARFCYDGLKRQLNNPIIK-ENGQYKTVTWEKAFNFILKNL	299
		MRILPR++ED+NEEWISDK RF YDGLKRQL P+++ E G +WE A + + L	
Sbjct	271	MRILPRMHEDINEEWISDKTRFAYDGLKRQLTEPMVRNEKGLTYTSWEDALSRVAGML	330

Query	300	QEIQNSNRIVGVGNLMDVESILLFKELLNLGSSKIYLESTPIQLNDDEKEDQILNN	359
		Q Q + + + G L+D E+++ K+LLN++ S + E P	
Sbjct	331	QSFQGKD-VAAIAGGLVDAEALVALKDLLNRVDSDTLCTEEVFPTAGA-----G	378
Query	360	ADFRNNYISNTPLAKIEESDLCLLIGTNIRLEAPLLNTRIRKRYLQGNYSVYSGPTNNL	419
		D R+N+ NT +A +EE+D+ LL+GTN R EAPL N RIRK +L + V +G +L	
Sbjct	379	TDLRSNYLLNTTIAGVEEADVVLLVGTNPRAFEAPLFNARIRKSWLHNDLKVALIGSPVDL	438
Query	420	TYNTENLGNDISTLLEISEGRHPFCKLMKSKKPLIIIGTHVLQRTDGTSIIELVKTL--	477
		TY ++LG+ L +I+ G HPF + L ++KKP+++G+ LQR DG +I+ V ++	
Sbjct	439	TYTYDHLGDSPKILQDIASGSHPFSQVLKEAKKPMVVLGSSALQRNDGAAILAAVSSIAQ	498
Query	478	-FKYTQIKTSNWNGFNILHTSASSVGALDLGIGSTKRYSEKISNSKIEKHFIYLLGADE-	535
		+ T T +W NILH AS V ALDLG K E I K ++LLGAD	
Sbjct	499	KIRMTSGVTGDWKVMNILHRIASQVAALDLGY---KPGVEAI--RKNPPKVLFLLGADGG	553
Query	536	--IRIENSKEHFIVYQGHGHDYGANIADVILPGSAYTEKTATYVNVEGRVQNTKSAFYAP	593
		R + K+ FI+YQGHGHD GA IADVILPG+AYTEK+ATYVN EGR Q TK A P	
Sbjct	554	CITRQDLPKDCFCIIYQGHGHDVGAPIADVILPGAAYTEKSATYVNTEGRAQQTKVAVTPP	613
Query	594	GNAREDWKIIRALSEVLNKKLPYDSFEDIHTRFMSIAPHLLKVNAIEKNKIVIENSLPK	653
		G AREDWKIIRALSE+ LPYD+ + + R ++P+L++ + IE + + K	
Sbjct	614	GLAREDWKIIRALSEIAGMTLPYDTLDQVRNRLEEVSPNLVRYDDIEGANYFQQANELSK	673
Query	654	GLIKNIGFKPL-----FNNFYLTNAICRSSQTMAKC	684
		+ + + PL +FY+T++I R+SQTMAKC	
Sbjct	674	LVNQQLLADPLVPPQLTIKFYMTDSISRASQTMAKC	710

sdh2

Sequence 1: [gi|11466495|gi|11466495](#)Reclinomonas americana mitochondrion, complete genome
Length = 720 (1 .. 720)

Sequence 2: lcl|seq_2
Length = 1161 (1 .. 1161)

Score = 43.0 bits (22), Expect = 1.5
Identities = 58/76 (76%), Gaps = 0/76 (0%)
Strand=Plus/Plus

Query	292	CCACATATGCATATTATCAAAGATTTAGTACCTGATCTTAGTAATTTTATGCACAGTAT	351
Sbjct	542	CCACACATGTATGTGATAAAGGATCTTGTCCCGATTGAGCAACTCTATGCACAGTAC	601
Query	352	AAATCAATTGAACCTT	367
Sbjct	602	AAATCCATTGAGCCTT	617

Sequence 1: [gi|11466549|ref|NP_044798.1|succinate:ubiquinone oxidoreductase subunit 2 \[Reclinomonas americana\]](#)
Length = 239 (1 .. 239)

Sequence 2: lcl|seq_2
Length = 280 (1 .. 280)

Score = 365 bits (937), Expect = 1e-99
Identities = 168/231 (72%), Positives = 197/231 (85%), Gaps = 4/231 (1%)

Query	7	KIMLFKVRWNPDKK-EKPHISTYSVDLNSCGPMVLDALIKKNEQDSTLTFRRSREGV	65
		+I F +YRW+PDK +KPH+ TY VDLN CGPMVL DALIKKNE DSTLTFRRSREG+	
Sbjct	38	RIKKFAIYRWDPDKAGDKPHMQTYEVDLNKCGPMVL DALIKKNEVDSTLTFRRSREGI	97
Query	66	CGSCAMNIIDGTNTLACIKSIDTN-KKEMKIYPLPHMIIKDLVPDLSNFYAQYKSIEPWM	124
		CGSCAMNI+G NTLAC + IDTN K KIYPLPHM++IKDLVPDLSNFYAQYKSIEP++	
Sbjct	98	CGSCAMNINGNTLACTRRIDTNLNKVS KIYPLPHMYVIKDLVPDLSNFYAQYKSIEPYL	157

Query	125	KTTEKKLD--KEFYQSRNDREKLDGLYECVLCACCSTCPSYWWNSDKYLGPAVLLQAYR	182
	K ++ + +++ QS +REKLDGLYEC+LCACCSTCPSYWWN DKYLGPAVL+QAYR		
Sbjct	158	KKKDESQEGKQQYLQSIEEREKLDGLYECILCACCSCTCPSYWWNGDKYLGPAVLMQAYR	217
Query	183	WIVDSRDQGTRERLQYLEDPFKLYRCHTILNCTKTCPKHLNPAQAIAKIKQ	233
	W++DSRD T ERL L+DPF LYRCHTI+NCT+TCPK LNP +AIA+IK+		
Sbjct	218	WMIDSRDDTEERLAKLQDPFSLYRCHTIMNCTRCPKGLNPGKAIAEIKK	268

Sdh3

Sequence 1: [gi|11466495|gi|11466495](#) Reclinomonas americana mitochondrion, complete genome
Length = 435

Sequence 2: lclseq_2
Length = 2694

No significant similarity was found

Sequence 1: [gi|11466547|ref|NP_044796.1|](#) succinate:ubiquinone oxidoreductase subunit 3 [Reclinomonas americana]
Length = 144 (1 .. 144)

Sequence 2: lcl|seq_2
Length = 189 (1 .. 189)

Score = 71.2 bits (173), Expect = 1e-11
Identities = 43/124 (34%), Positives = 67/124 (54%), Gaps = 5/124 (4%)

Query	16	NMMINRPISPHTIYKLQITNTLSIFHRITGGVLALTLCFFILILKMLNFHLSSYAFYSI	75
	N+ NRP+SPH+TIY + +SI HR TG L+ + F + +L + SY		
Sbjct	65	NIGSNRPLSPHITIYWSLPMAMSICHRTGIALSAGVSLFGMSALLPGNFESYLELVK	124
Query	76	AYTLNQYSGFILFIAISFFLLLF-IFYHLFAGLRHLVWDAGYALEIENVYLTGYIMLGLAF	134
	+ L G I + F L+F + YH + G+RHL+WD G L+I +Y +G ++L L		
Sbjct	125	SLCL----GPALIHTAKFALVFPLMYHTWNGIRHLMWDLGKGLKIPQLYQSGVVVLVLT	180
Query	135	LFTL 138	
	L ++		
Sbjct	181	LSSM 184	

Sdh4

Sequence 1: [gi|11466495|gi|11466495](#) Reclinomonas americana mitochondrion, complete genome
Length = 363

Sequence 2: lclseq_2
Length = 1220

No significant similarity was found

Sequence 1: [gi|11466548|ref|NP_044797.1|](#) succinate:ubiquinone oxidoreductase subunit 4 [Reclinomonas americana]
Length = 120

Sequence 2: lclseq_2
Length = 159

No significant similarity was found

Atp1

Sequence 1: [gi|11466495|gi|11466495](#) Reclinomonas americana mitochondrion, complete genome
Length = 1539 (1 .. 1539)

Sequence 2: lcl|seq_2

Length = 1950 (1 .. 1950)
Score = 142 bits (74), Expect = 3e-30
Identities = 452/641 (70%), Gaps = 0/641 (0%)
Strand=Plus/Plus

Query	604	TACAGTATCTACGTTGCAATTGGTCAAAAAAGATCAACAGTTGCGCAATTAGTACAAACA	663
Sbjct	872	TACTGTATTATGTTGCTATTGGTCAAAAGAGATCCACTGTTGCCAGTTGGTGAAGAGA	931
Query	664	CTTGAAGAATACGATGCTCTTAAATATAACATTATCGTAGCTTCACTGCTTCTGAACCA	723
Sbjct	932	CTTACAGATGCAGATGCCATGAAGTACACCATTGTGGTGTGGCTACGGCCTCGGATGCT	991
Query	724	GCTCCACTTCAATTCTTAGCTCCTTATAGTGGTGTGCAATAGGTGAATTCTTAGAGAT	783
Sbjct	992	GCCCCACTTCAGTACCTGGCTCCTTACTCTGGCTGTCCATGGGAGAGTATTTAGAGAC	1051
Query	784	AATGGTATGCATGGTTAACATTATTTATGATGATTAAGTAAACAAAGCTGTTGCATATAGA	843
Sbjct	1052	AATGGCAAACATGCTTGATCATCTATGACGACTTATCCAAACAGGCTGTTGCTTACCGT	1111
Query	844	CAAACATCTCTTATTACGTCGTCCTCCAGGTAGAGAAGCTTATCCAGGTGATGTTTC	903
Sbjct	1112	CAGATGTCCTGTTGCTCCGCCGACCCCCCTGGTCGTGAGGCCTATCCTGGTATGTTGTC	1171
Query	904	TATTTACATTCAAGACTCTAGAAAGAGCTGCTAAAATGTCAGATAAAGATGGTCAGGT	963
Sbjct	1172	TACCTACACTCCGGTTGCTGGAGAGAGCAGC AAAATGAACGATGCTTTGGTGGTGGC	1231
Query	964	TCATTAACAGCACTTCAATTGAAACACAAGCAGGTGACGTTCAGCATAATATTCT	1023
Sbjct	1232	TCCTTGACTGCTTGCAGTCATAGAAACACAGGCTGGTATGTTGCTGCTTACATTCCA	1291
Query	1024	ACAAAACGTTATTCAATTACAGATGGTCAAATTCTTAGAAACTGAACTTTCTATAGT	1083
Sbjct	1292	ACAAATGTCATTCCATCACTGACGGACAGATCTCTGGAAACAGAAATTGTTCTACAAA	1351
Query	1084	GGTTAACGACTGCTGTTAGTGGTCTCTGTTAGCCGTGTTGGTCTGCTGCACAA	1143
Sbjct	1352	GGTATCCGCCCTGCAATTACGTTGGTCTGTCGTATCTCGTGTGGATCCGCTGCCAA	1411
Query	1144	ATTAAGCAATGAAACAAAGTTGGTGGTACATTAAAACCTGATTTAGCACAAATATCGTAA	1203
Sbjct	1412	ACCAGGGCTATGAAGCAGGTAGCAGGTACCATGAAGCTGAAATTGGCTAGTACGTGAG	1471
Query	1204	GTTGCTGCTTGCACAATTGGTAGTGTGATCTAGACGCTGC	1244
Sbjct	1472	GTTGCTGCTTGCAGTCGGTCTGACCTCGATGCTGC	1512
Score = 48.8 bits (25), Expect = 0.060			
Identities = 53/67 (79%), Gaps = 0/67 (0%)			
Strand=Plus/Plus			
Query	99	TATTGGTGATGGTATTGCACTGTATACGGTTAAACATGTCAGCAGGGAAATGGT	158
Sbjct	373	TATTGGTGATGGTATTGCCCGCGTACATGGGCTGAGGAATGTTCAAGCAGAAGAAATGGT	432
Query	159	TGAATTT 165	
Sbjct	433	AGAGTTT 439	
Score = 706 bits (1821), Expect = 0.0			

Identities = 363/505 (71%), Positives = 426/505 (84%), Gaps = 2/505 (0%)

Query 6	SEQFKILEERITNAYRELDVEEIGRVISIGDGIARVYGLNNVQAGEMVEFPKAGIKGMAL +E ILEERI A +D+EE GRV+SIGDGIARV+GL NVQA EMVEF +G+KGM+L	65
Sbjct 49	AEMSSILEERILGADTSVDLEETGRVLSIGDGIARVHGLRNVQAEEMVEF-SSGLKGMSL	107
Query 66	NLETNVGIVLFGNDRRAIAEGDIVRRTGAIIDVDPVGKGLLGRVVDALGNPIDGKGPIQTT NLE DNVG+V+FGND+ I EGDIV+RTGAIVDVPVG+ LLGRVVDALGN IDGKGPI +	125
Sbjct 108	NLEPDNVGVVVFGNDKLIKEGDIVKRTGAIIDVDPVGGEELLGRVVDALGNAIDGKGPIGSK	167
Query 126	ERRRVEVKAPGILSRKSVPHEPMSTGIKAIDCLVPIGRGQRELIIGDRQTGKTAIALDTML RRRV +KAPGI+ R SV EPM TGIKA+D LPPIGRGQRELIIGDRQTGKT+IA+DT++	185
Sbjct 168	TRRRVGLKAPGIIPRISVREPMQTGIKAVDSLVPPIGRGQRELIIGDRQTGKTSIAIDTII	227
Query 186	NQKLINESTQKESEKLYSIYVAIGQKRSTVAQLVQTLEEYDALKYTIIVASTASEPAPLQ NQK N+ + E +KLY IYVAIGQKRSTVAQLV+ L + DA+KYTI+V++TAS+ APLQ	245
Sbjct 228	NQKRFNDGSD-EKKKLYCIYVAIGQKRSTVAQLVKRLTDADAMKYTIVVSATASDAAPLQ	286
Query 246	FLAPYSGCAIGEFFRDNGMHGLIYYDDLSKQAVAYRQTSLLLRRPPGREAYPGDFVYLHS +LAPYSGC++GE+FRDNG H LIIYDDLSKQAVAYRQ SLLLRRPPGREAYPGDFVYLHS	305
Sbjct 287	YLAPYSGCSMGEYFRDNGKHALIYYDDLSKQAVAYRQMSLLLRRPPGREAYPGDFVYLHS	346
Query 306	RLLERAAKMSDKDGAGSLTALPVIETQAGDVSAYIPTNVISITDGQIFLETELFYSGLRP RLLERAAKM+D G GSLTALPVIETQAGDVSAYIPTNVISITDGQIFLETELFY G+RP	365
Sbjct 347	RLLERAAKMNDAFGGSLTALPVIETQAGDVSAYIPTNVISITDGQIFLETELFYKGIRP	406
Query 366	AVSVGLSVSRVGSAAQIKAMKQVGGTLKLDLAQYREVAFAAQFGSDLDAATLSQLNRGER A++VGLSVSRVGSAAQ +AMKQV GT+KL+LAQYREVAFAAQFGSDLDAAT L+RG R	425
Sbjct 407	AINVGLSVSRVGSAAQTRAMKQVAGTMKLELAQYREVAFAAQFGSDLDAATQQLLSRGVR	466
Query 426	LTELLKQAOYSPITEIQIVILYAGVRGYLNKISVSKIGEYEKGLINFIQTNHADILKRI LTELLKQ QYSP+ E Q+ ++YAGVRGYLNK+SKI ++E ++ + + H +L I	485
Sbjct 467	LTELLKQGQYSPMAIEEQAVIYAGVRGYLDKLEPSKITKFENDFLSHVVSQHQALLGTI	526
Query 486	KDERQLSKDLDAQIGNIVSTFTNSF 510 + E ++S+ DA++ IV+ F F	
Sbjct 527	RAEGKISEQSDAKLKEIVTNFLAGF 551	

Atp3

Sequence 1: [gi|11466495|gi|11466495](#) Reclinomonas americana mitochondrion, complete genome
Length = 846

Sequence 2: lclseq_2
Length = 1162

No significant similarity was found

Sequence 1: [gi|11466530|ref|NP_044779.1|](#) ATP synthase F1 subunit gamma [Reclinomonas americana]
Length = 281 (1 .. 281)

Sequence 2: lcl|seq_2
Length = 298 (1 .. 298)
Score = 179 bits (455), Expect = 2e-43
Identities = 113/280 (40%), Positives = 167/280 (59%), Gaps = 11/280 (3%)

Query 1	MASTKDFKNRIKSITSIRKIKTAKMVAASKLQRQAQRNLDVIRPYFKTVDSLNFNEYQNAS MA+ KD R+KSI +I+KITK+MKMVA+K +A+R L R Y +L+ +	60
Sbjct 25	MATLKDIRRLKSIKNIQKITKSMKMVAAKYARAERELKPARIYGLSLALYEKADIKG	84
Query 61	SNESIVNNKIVVPISSDRGLCGINTNVVKATKALVTKNNALDTNASIICVGKAKDQLQ + +++ +SSDRGLCG I++++ K K+ V A ++ +G K + L	120
Sbjct 85	PEDK--KKHLLIGVSSDRGLCGAIHSSIAKQMSEVATLTAAGKEVMLVGIGDKIRGILY	142

Query	121	RLYGKIIISTSITDVSKKGVSFANASLIAEEILNTNY--DTCYLVYNQFRSVLTQNVIESK	178
		R + + +V +K +F +AS+IA E+LN+ Y D +++N+FRSV++ E	
Sbjct	143	RTHSDQFLVAFKEVGRKPPTFGDASVIALELLNSGYEFDEGSIIFNKFRSVISYKTEEKP	202
Query	179	IAS--RAALENSYNEFNNYEMEPSKSDVLFDLYEYYLGLKTYVLIENVTSEQGARMNAM	236
		I S A +S + + + + +DVL + EY L YY L E+ TSEQ ARM AM	
Sbjct	203	IFSLNTVASADSMSIYDDID----ADVLQNYQEYNLANIYYSLKESTTSEQSARMTAM	257
Query	237	DNAAKNAGEMIDKLTLIYNKARQASITSELIEIISCASAV	276
		DNA+KNA EMIDKLTL +N+ RQA IT ELIEIIS A+A+	
Sbjct	258	DNASKNASEMIDKLTLTFNRTRQAVITKELIEIISGAAAL	297

Atp4

Sequence 1: [gi|11466495|gi|11466495](#) Reclinomonas americana mitochondrion, complete genome
Length = 594

Sequence 2: lclseq_2
Length = 2126

No significant similarity was found

Sequence 1: [gi|11466556|ref|NP_044805.1|](#) ATP synthase subunit b [Reclinomonas americana]
Length = 197

Sequence 2: lcl|seq_2
Length = 597

No significant similarity was found

Atp9

Sequence 1: [gi|11466495|gi|11466495](#) Reclinomonas americana mitochondrion, complete genome
Length = 228

Sequence 2: lclseq_2
Length = 1178

No significant similarity was found

Sequence 1: [gi|11466528|ref|NP_044777.1|](#) ATP synthase F0 subunit 9 [Reclinomonas americana]
Length = 75 (1 .. 75)

Sequence 2: lcl|seq_2
Length = 198 (1 .. 198)

Score = 94.0 bits (232), Expect = 2e-18
Identities = 47/69 (68%), Positives = 57/69 (82%), Gaps = 0/69 (0%)

Query	5	AAKLIBGAGCATIGLAGAGAGIGTVFGALVTIAIRNPSQFKQLQSSALLGFALTEAIALFA	64
		AAK IGAG AT+G+AG+GAGIGTVFG+L+ ARNPS +QL S A+LGFAL+EA+ LF	
Sbjct	128	AAKFIGAGAATVGVAGSGAGIGTVFGSLIIGYARNPSLKQQLFSYAILGFALSEAMGLFC	187

Query	65	LMVVFLLLF	73
		LMV FL+LF	
Sbjct	188	LMVAFLILF	196

ÖZGEÇMİŞ

1968 yılında Tokat'in Turhal ilçesinde doğdu. İlkokulu ve ortaokulu burada bitirdikten sonra 1982 yılında Bursa İşıklar Askeri Lisesine girdi ve 1986'da buradan birincilikle mezun oldu. Aynı yıl girdiği GATA Askeri Tıp Fakültesi'nden 1992'de tabip teğmen rütbesi ile mezun oldu. Ankara ve Samsun'daki stajyerlik dönemini takiben 1993 yılında Çubuk'ta 30 Yataklı İşsiz Revir Baştabipliği görevine başladı. 1994 yılında Bingöl'de operasyon taburu tabipliği görevi sonrasında 1995 yılına kadar Çubuk'taki görevini sürdürdü. 1995'te GATA Biyokimya ve Klinik Biyokimya AD'nda tipta uzmanlık eğitimiine başladı ve 1998'de uzman tabip ünvanı aldı. 1998 yılında Sarıkamış 200 Yataklı Askeri Hastanesi biyokimya uzmanlığı görevine tayin oldu. 1999 yılında bir yıl süreyle Houston-ABD'de Huffington Center on Aging'de hücre yaşlanması üzerinde araştırma yaptı. 2000 yılında GATA Biyokimya ve Klinik Biyokimya AD'da yardımcı doçentlik görevine başladı. 2006 yılından itibaren de GATA TSK Rehabilitasyon ve Bakım Merkezi'nde biyokimya laboratuvar sorumlusu olarak görev yapmaktadır. Evli ve 2 çocuk babası olup, İngilizce ve Fransızca bilmektedir.